



Jeudi 9 Septembre 2004- 29ème congrès SB

The chemistry in a flow cell

LAGREE P.-Y.,
LMM/ UPMC-CNRS

IVAN-FERNOLENDT A.
LMM/ Univ. West Timishoara

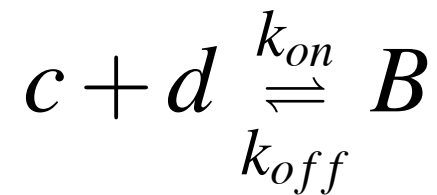


Qu'est qu'une chambre à flux?

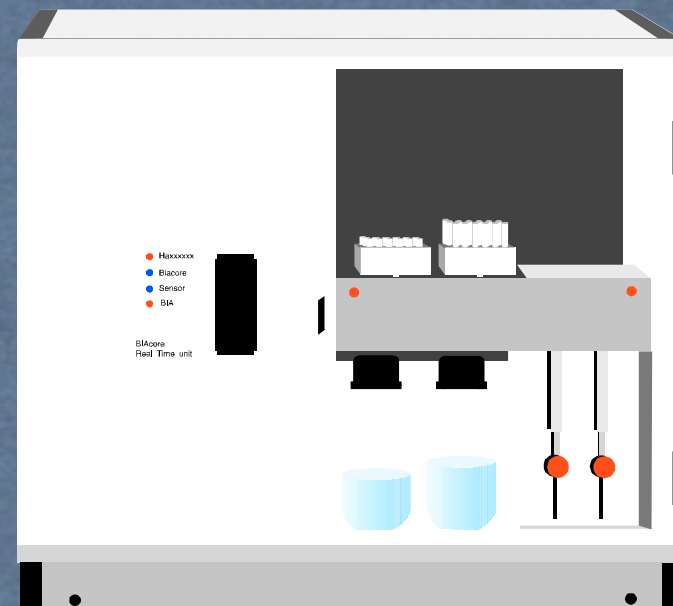
- un appareil dans lequel se produit un écoulement laminaire de type Poiseuille, par exemple une cuve de Hele Shaw (microfluidique)
- en plus l'écoulement réagit chimiquement: réaction d'adhésion/désadhésion à la paroi

Utilité?

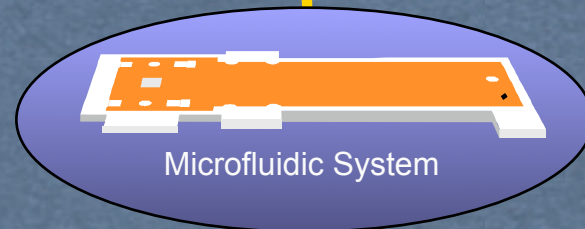
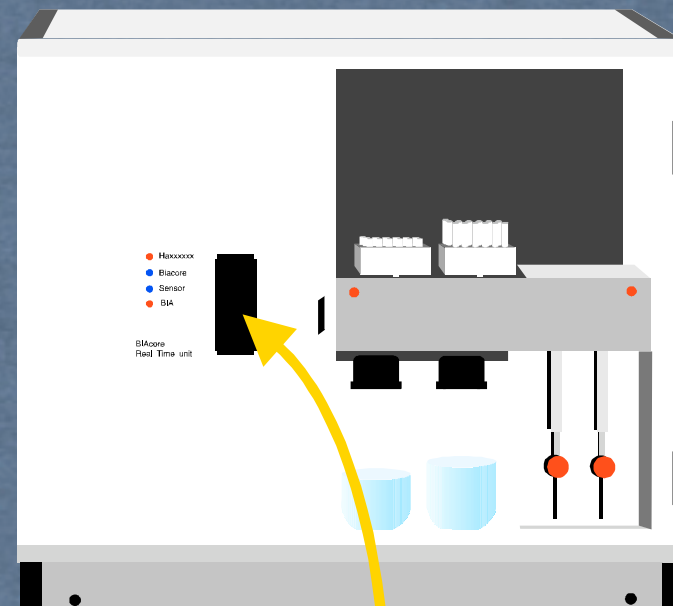
- mesure de taux cinétiques de réactions chimiques pour applications en biologie
- Les constituants ADN/ADN, ADN/ARN, ADN/protéines, polymérisations, capture de ligands...



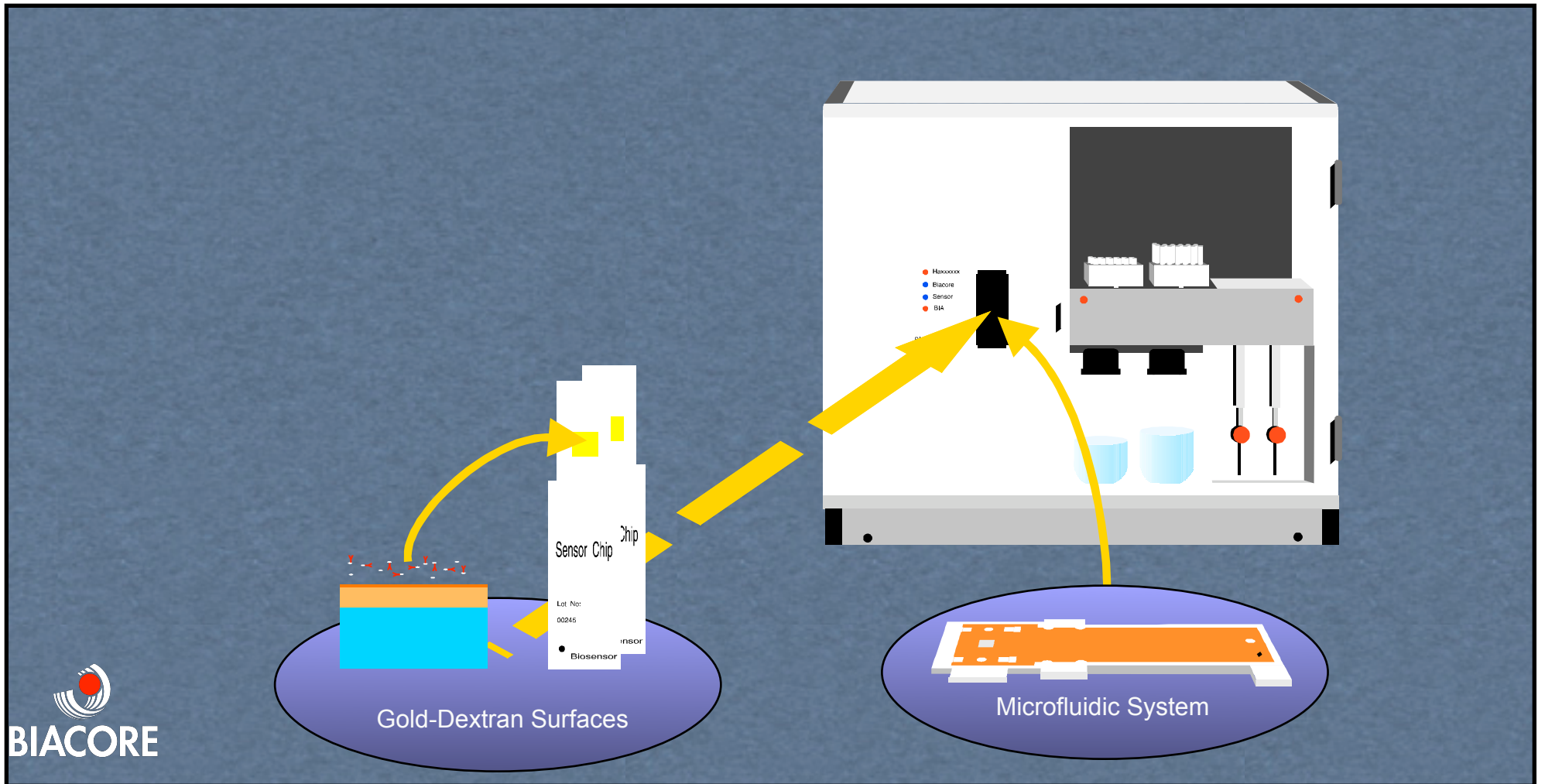
l'engin



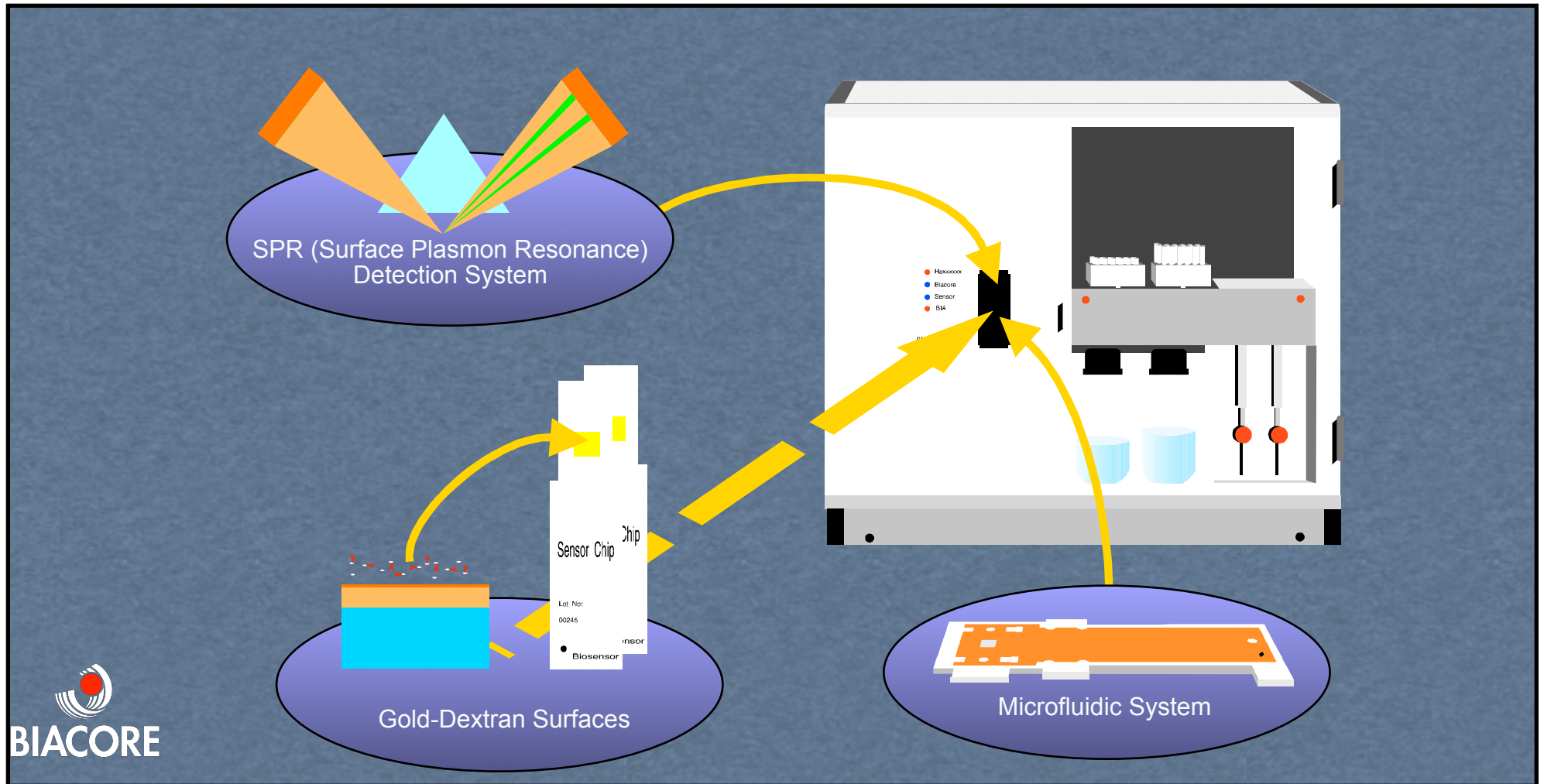
l'engin



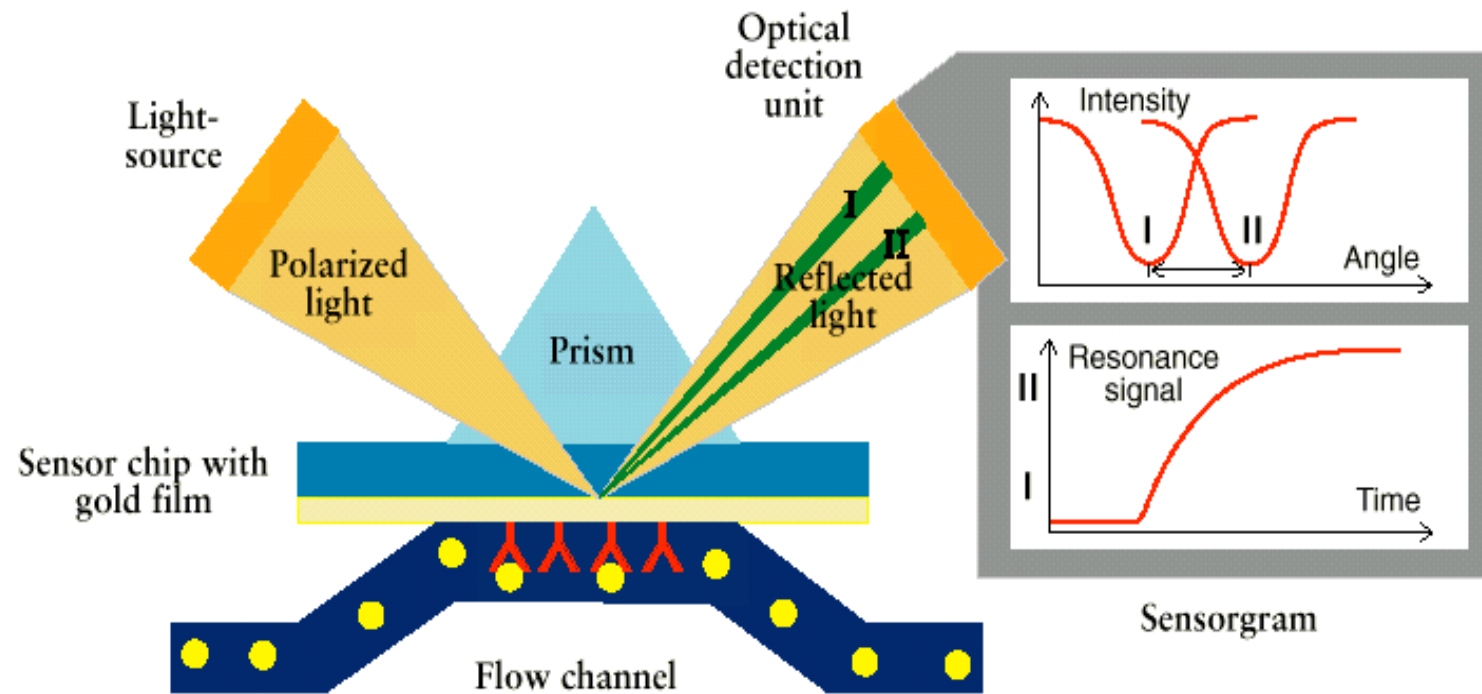
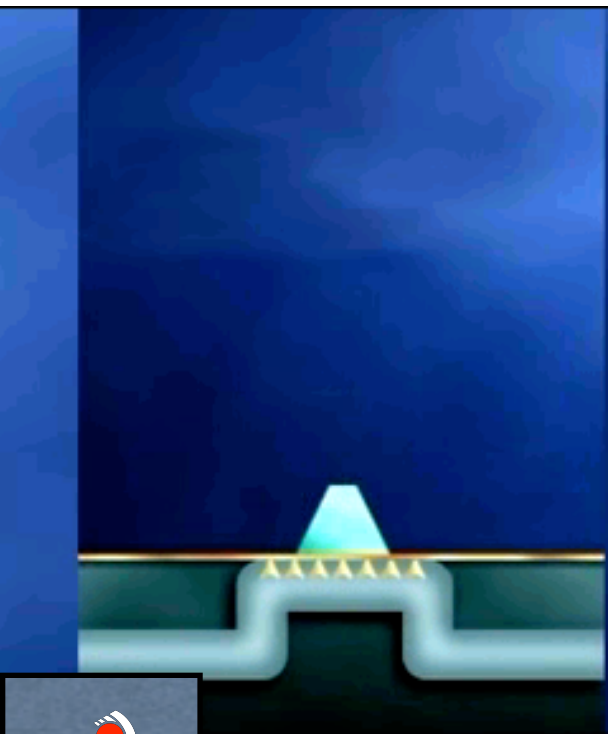
l'engin



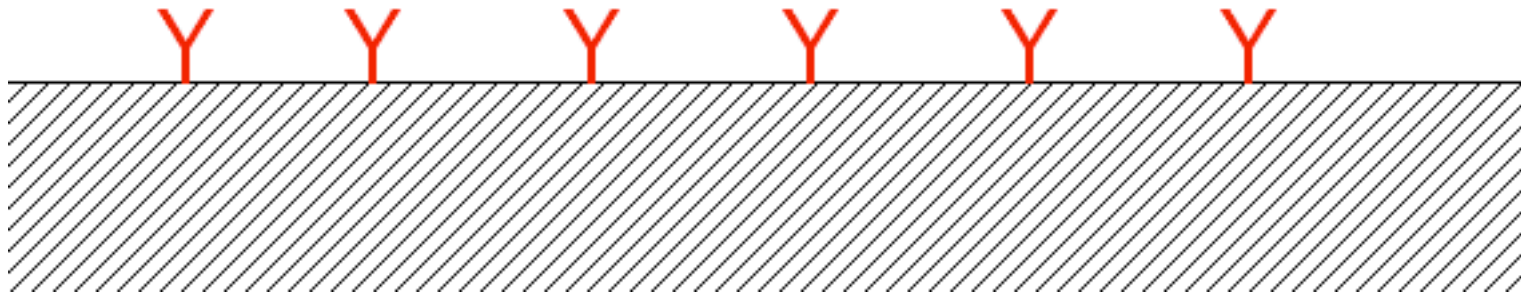
l'engin

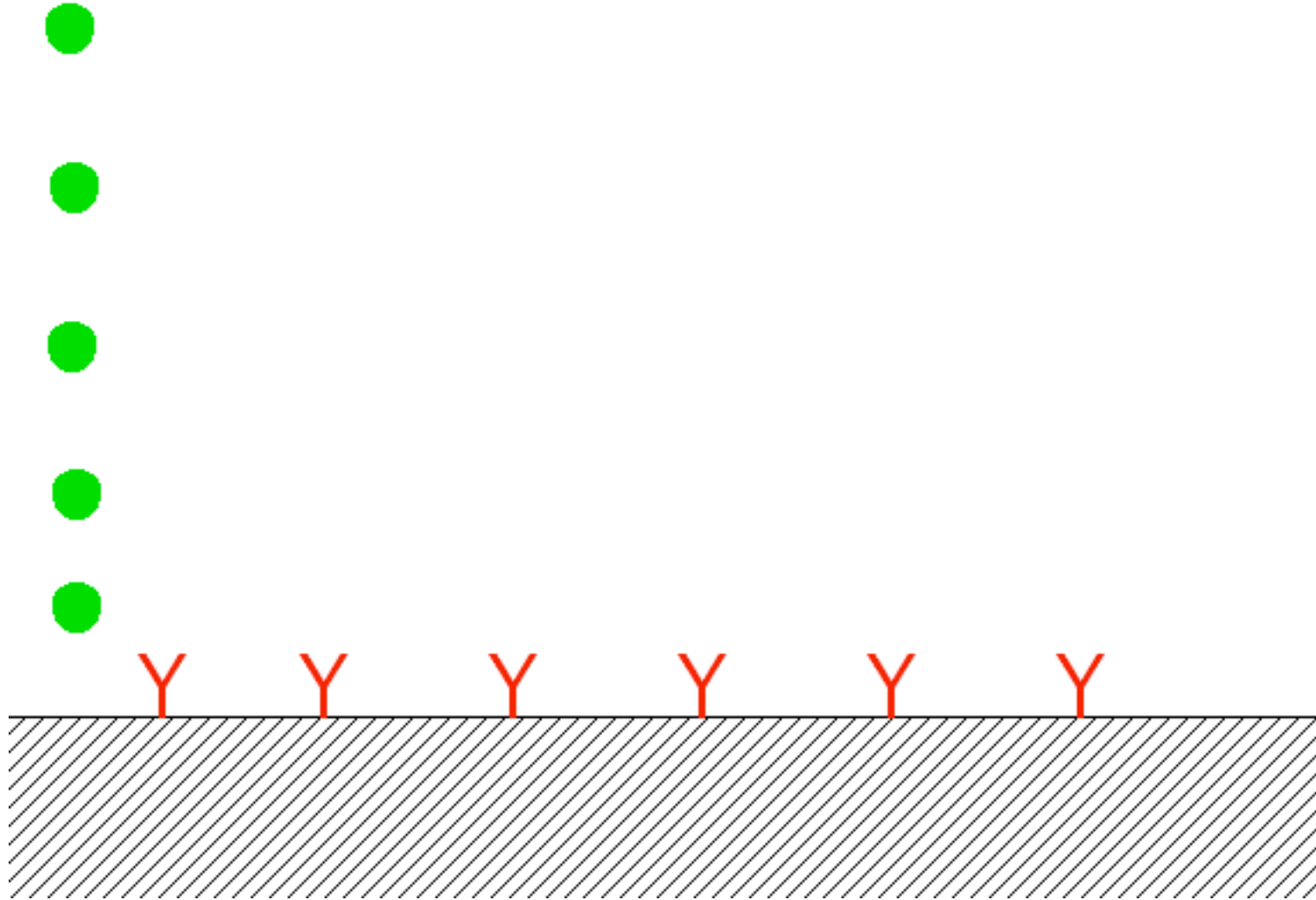


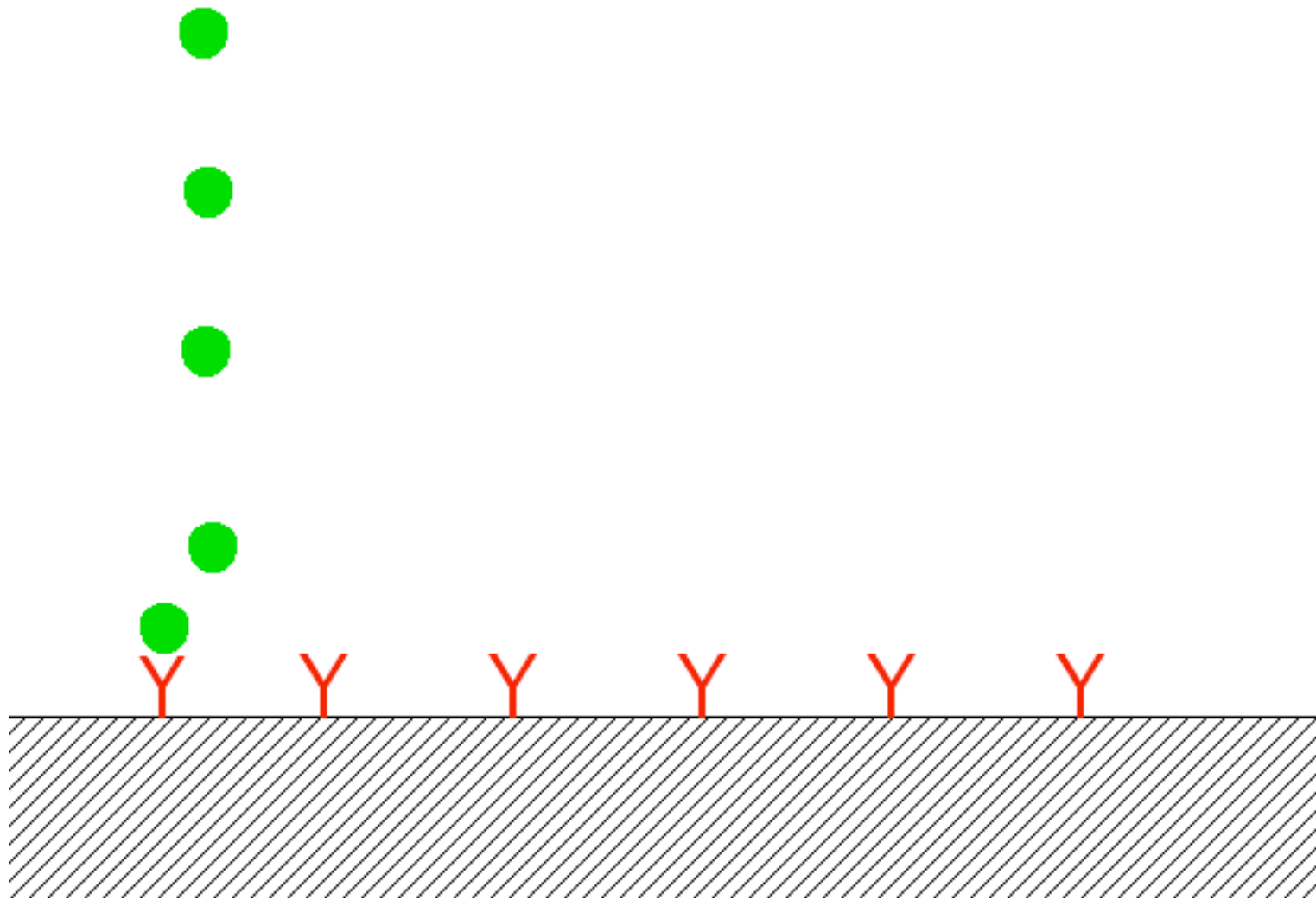
principe

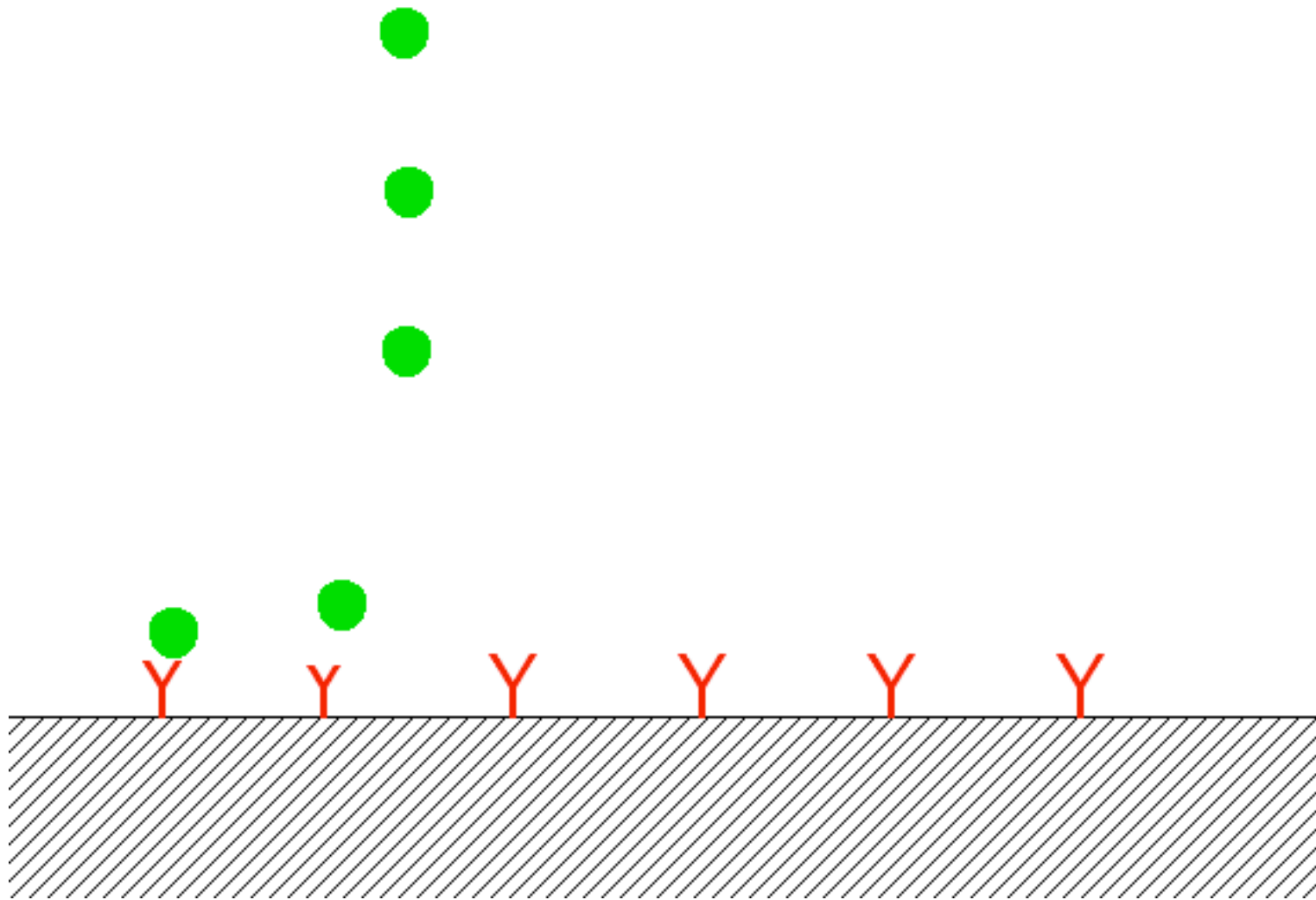


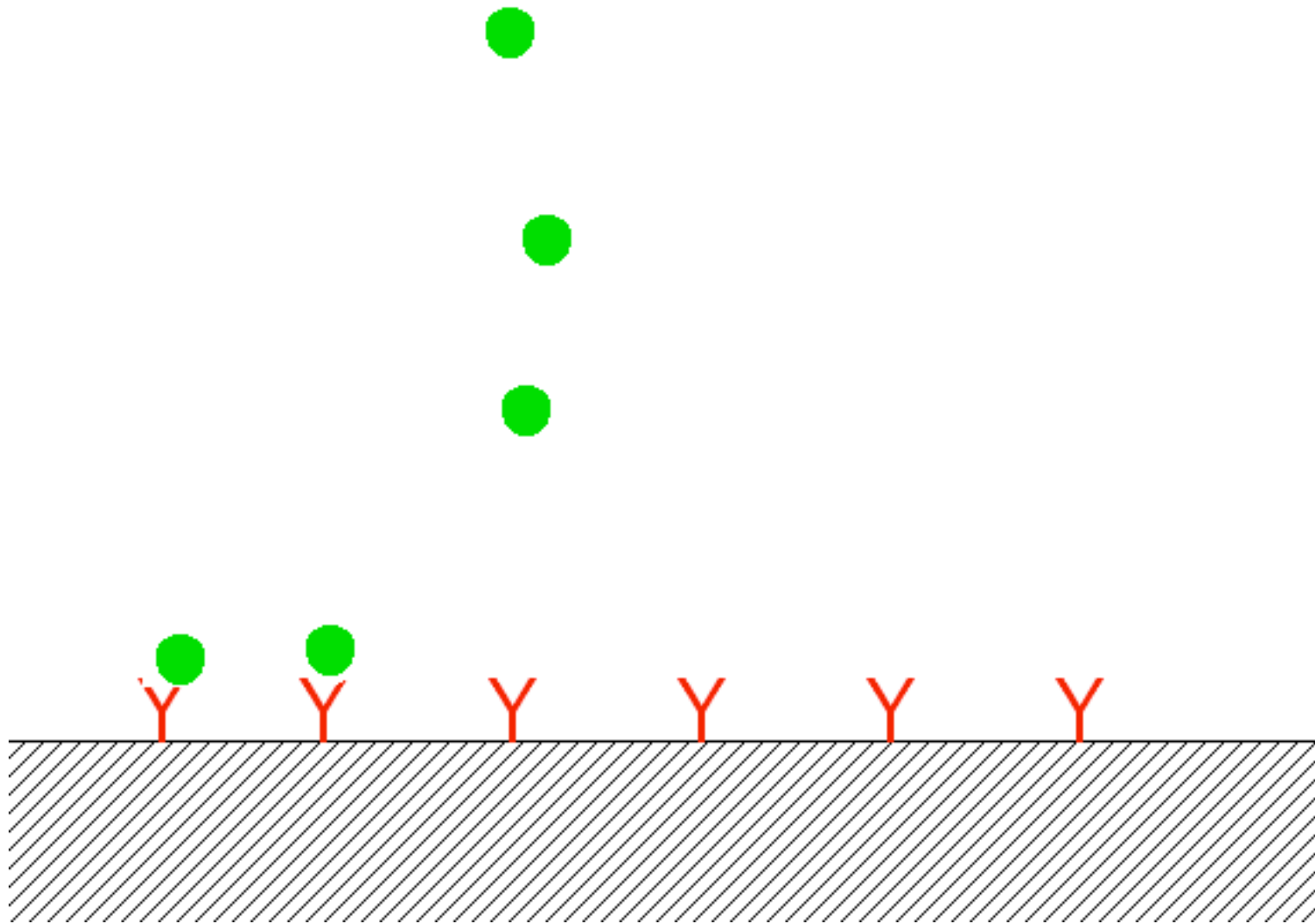
réaction pariétale

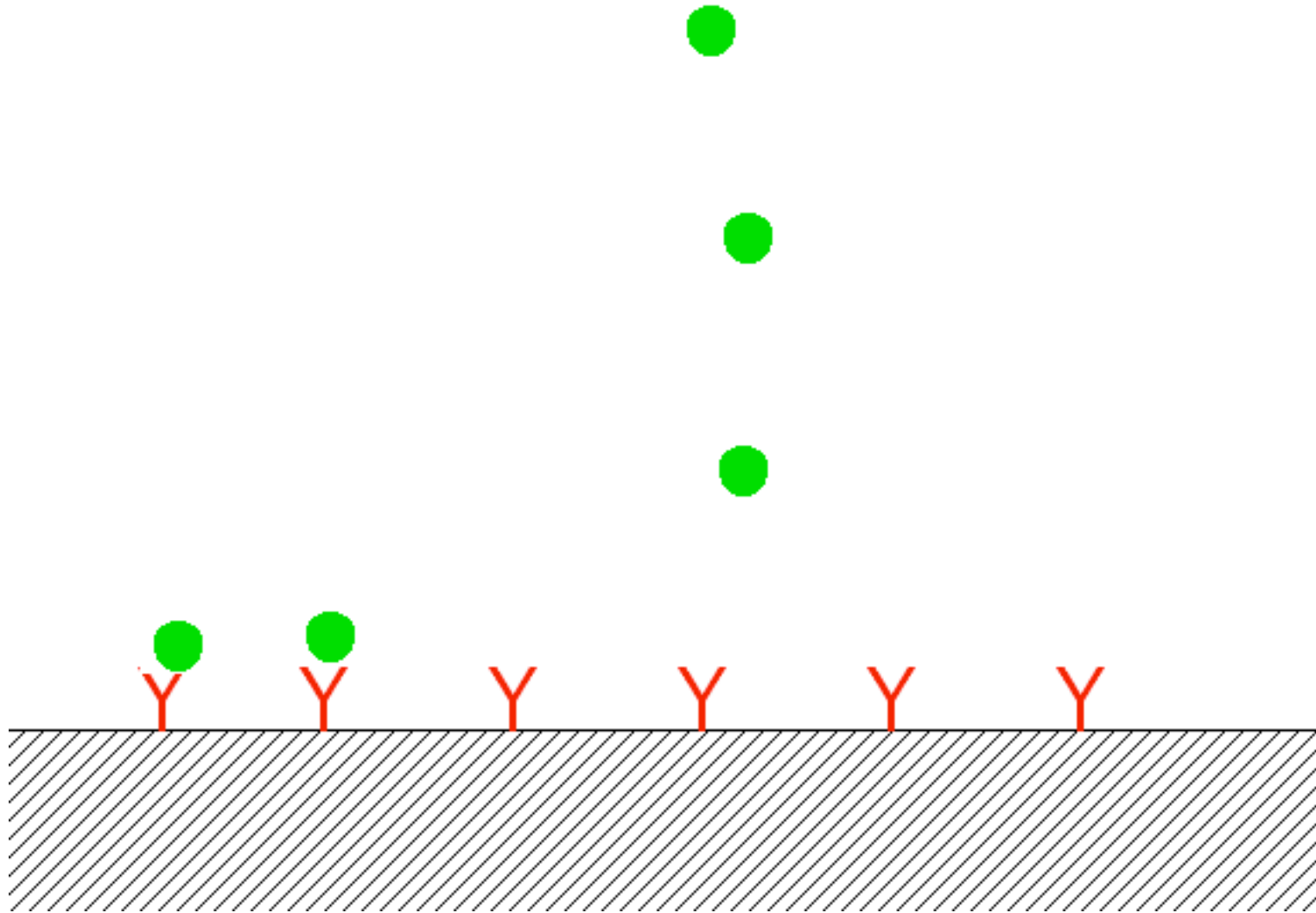


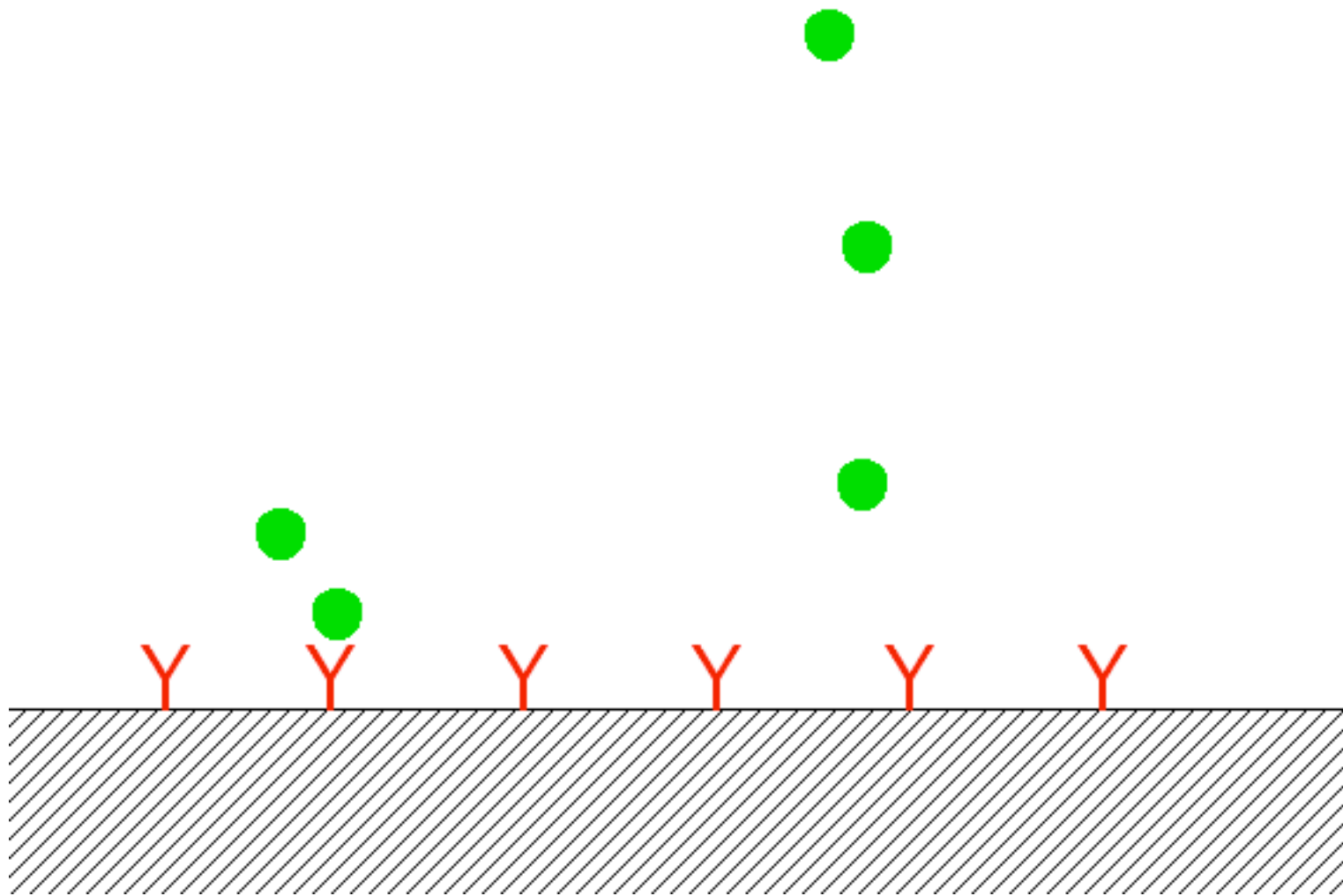


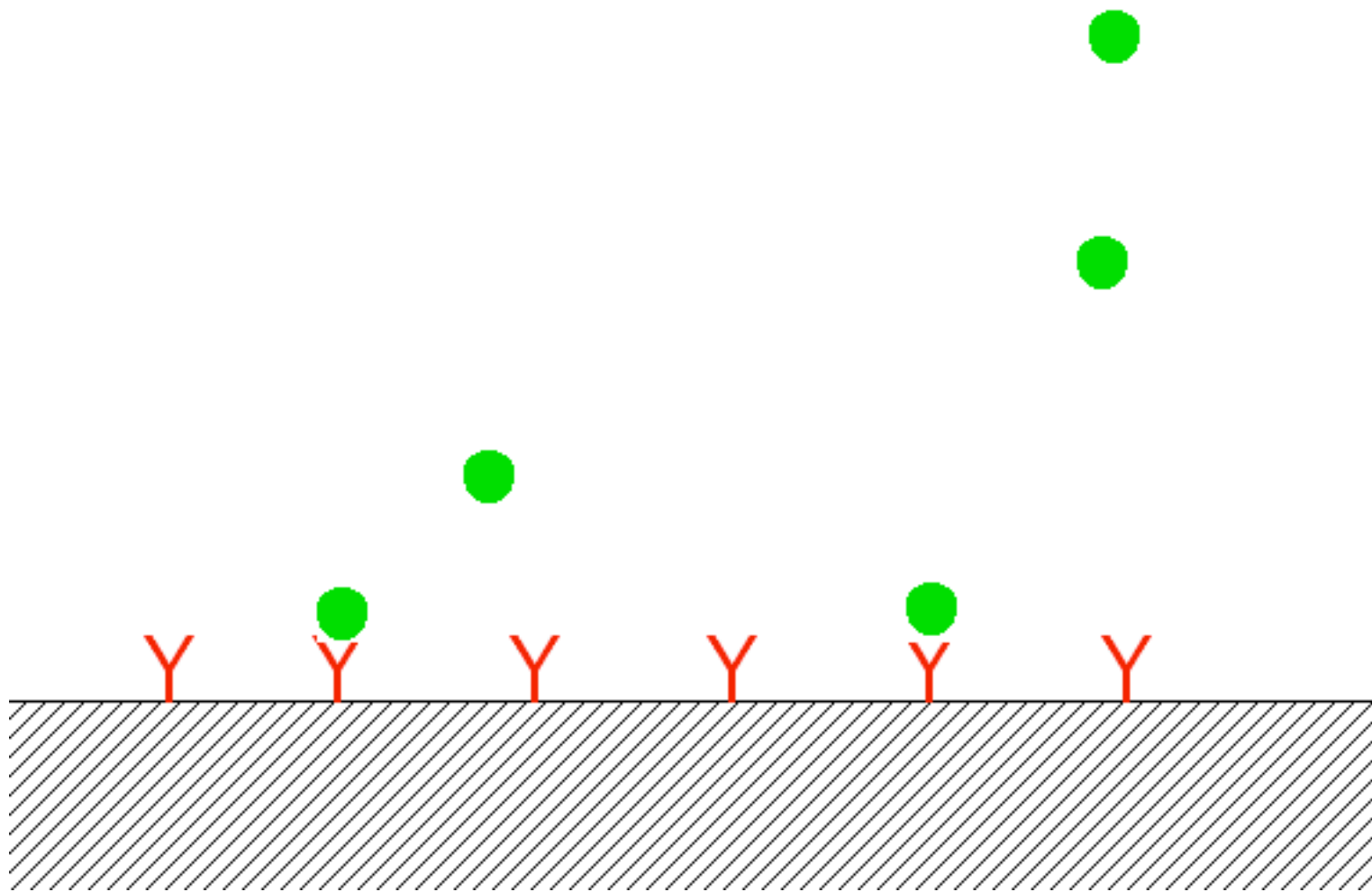


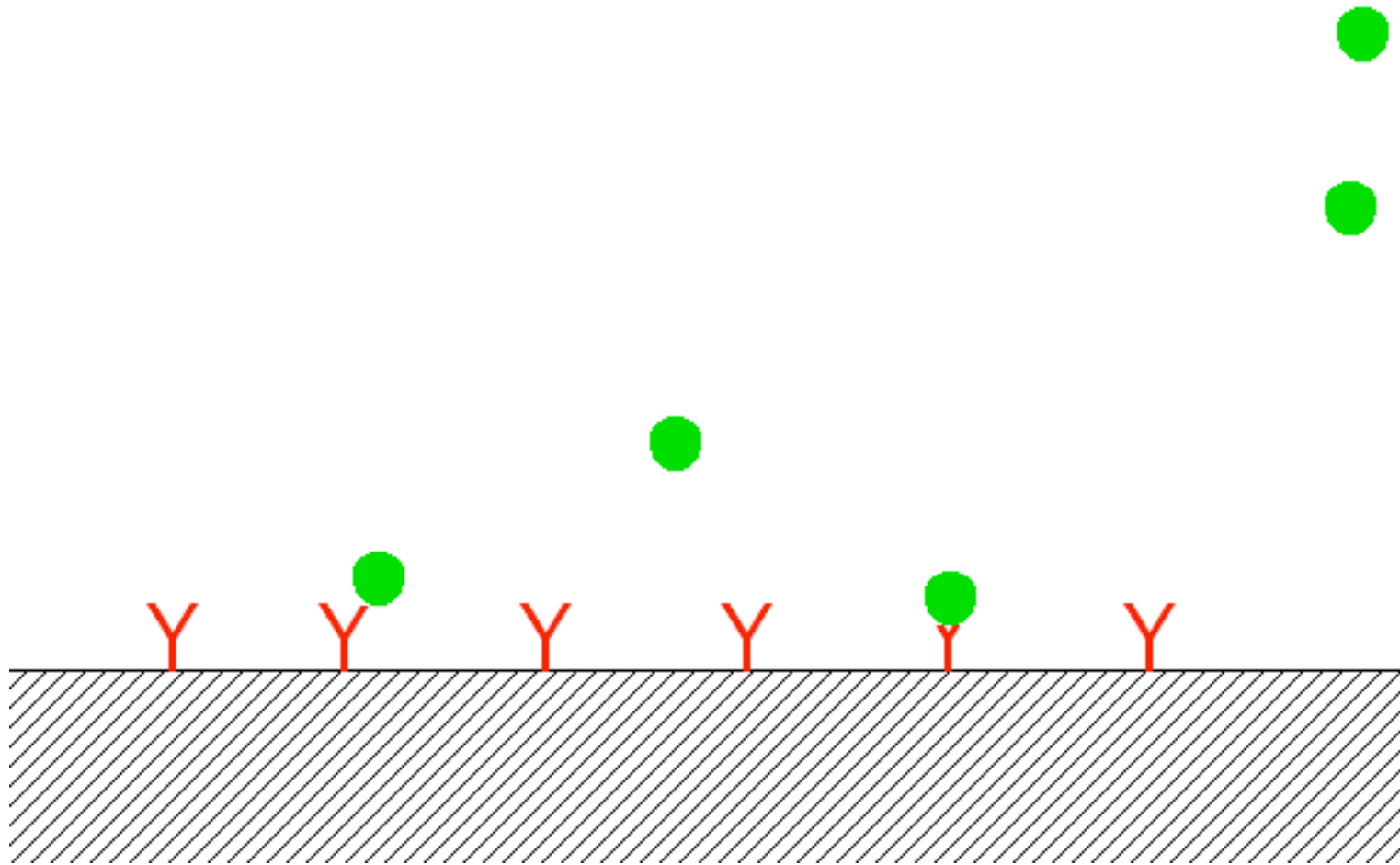


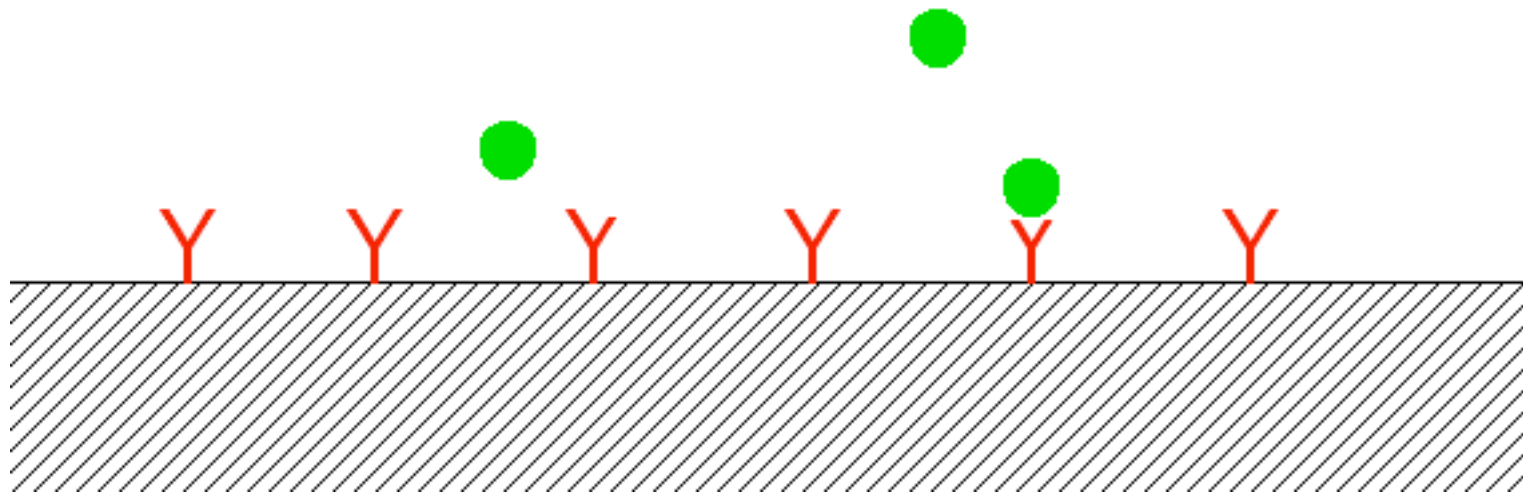


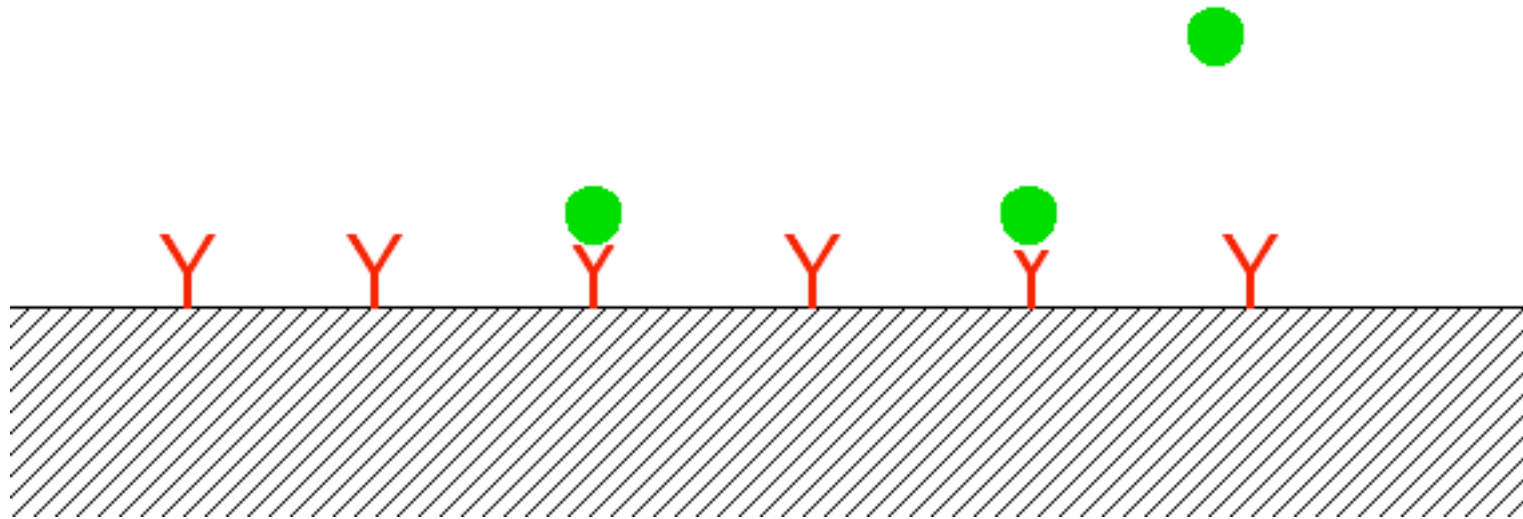


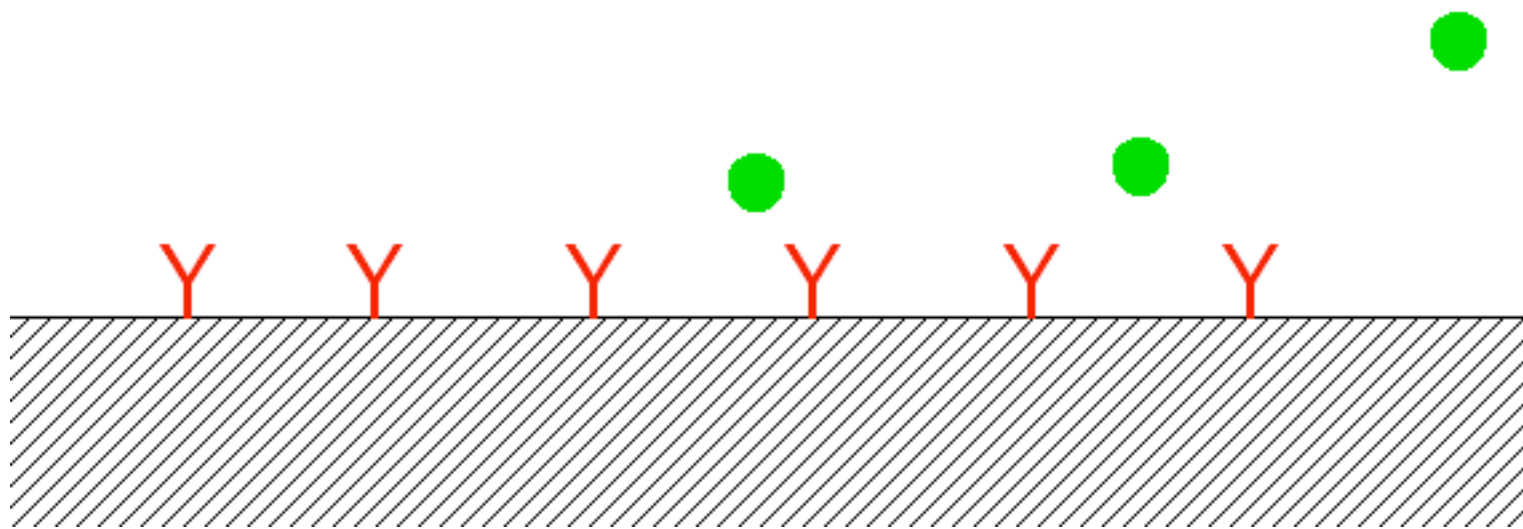


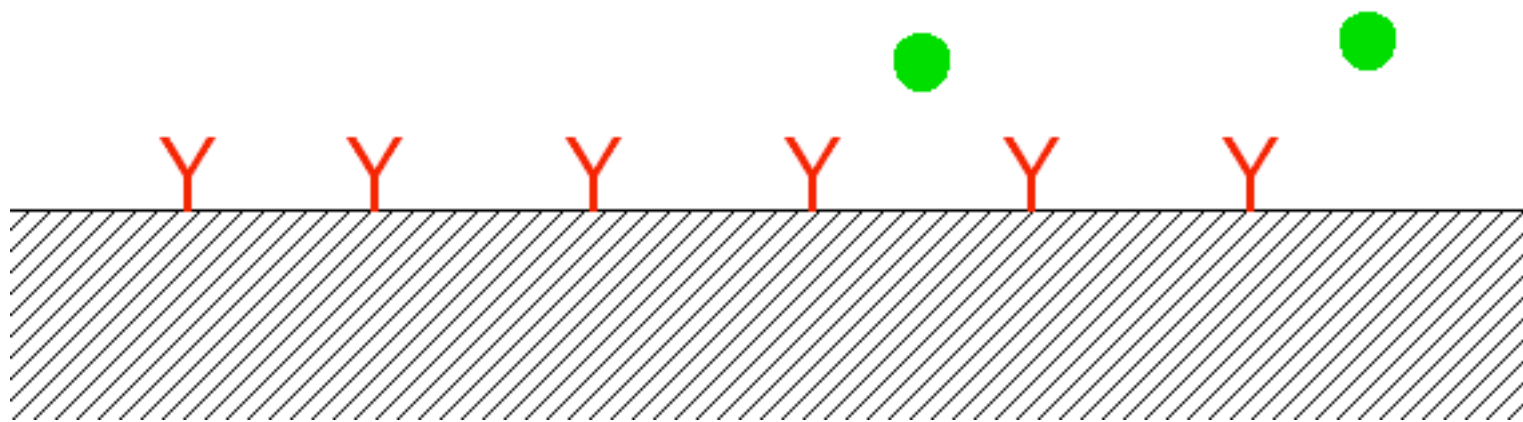


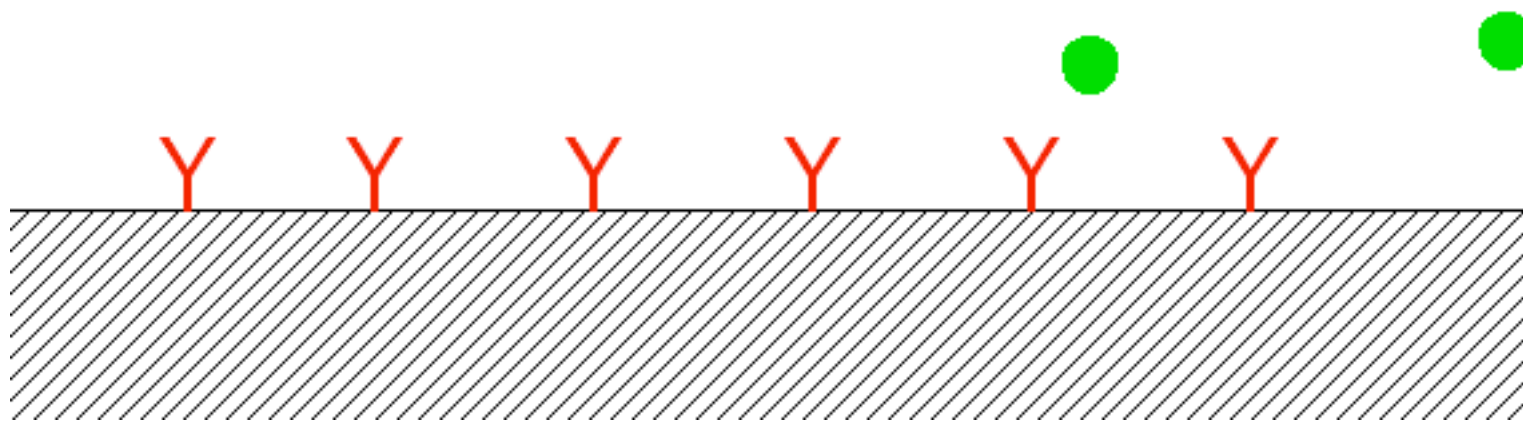


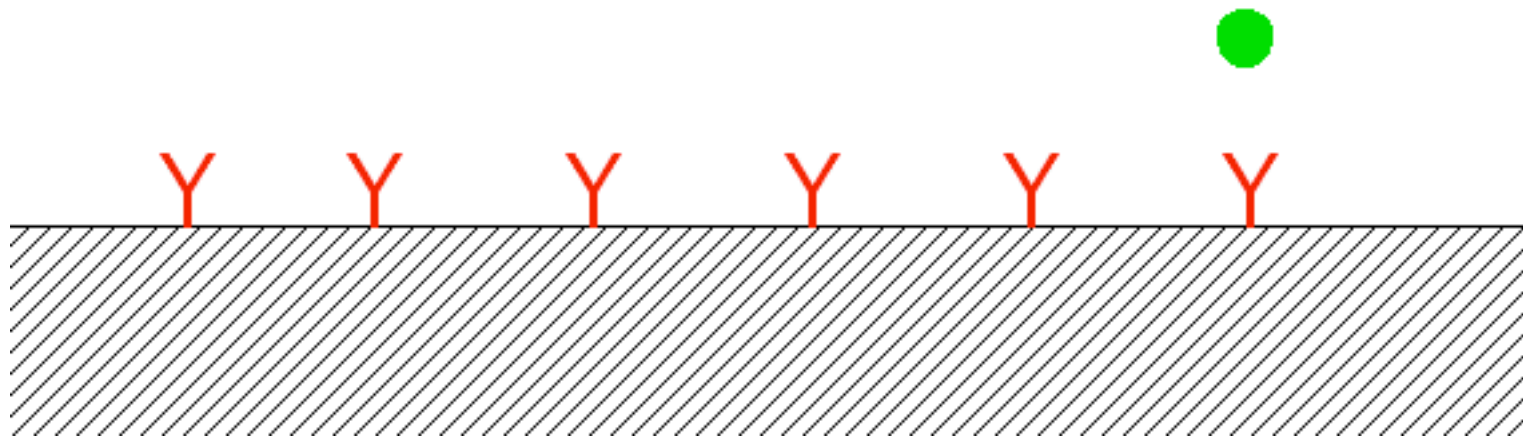


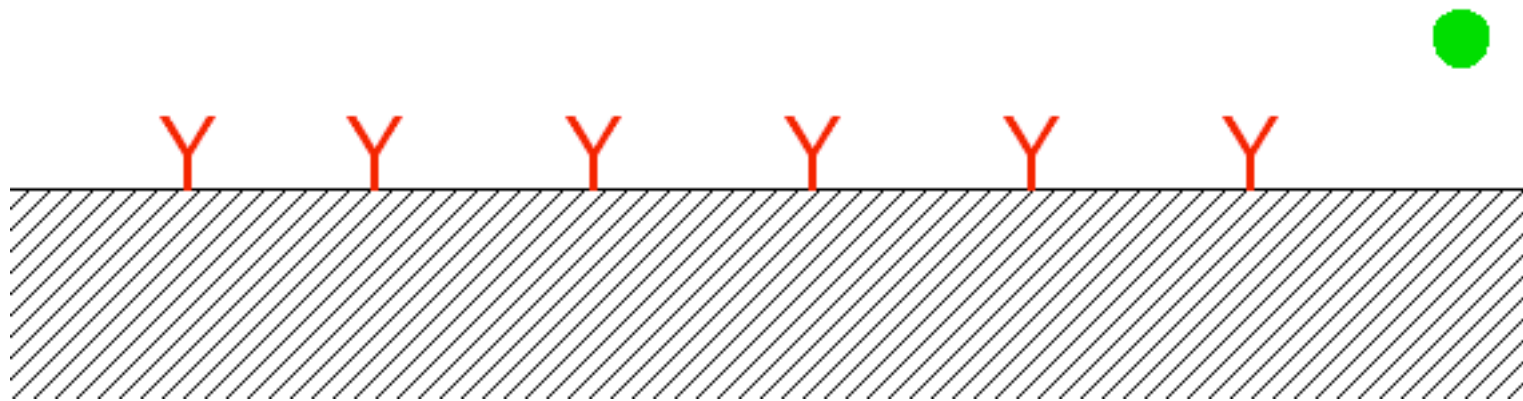




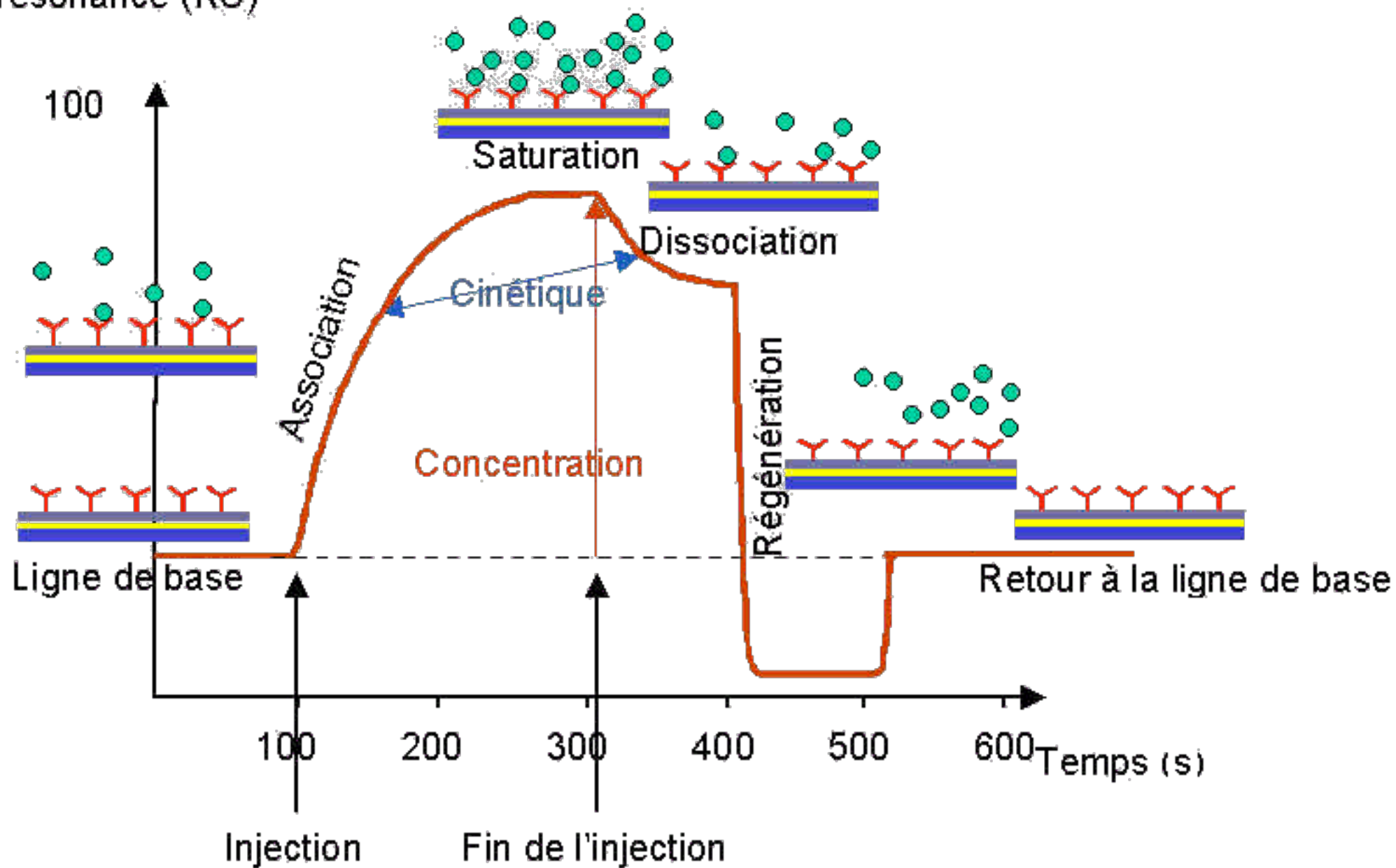




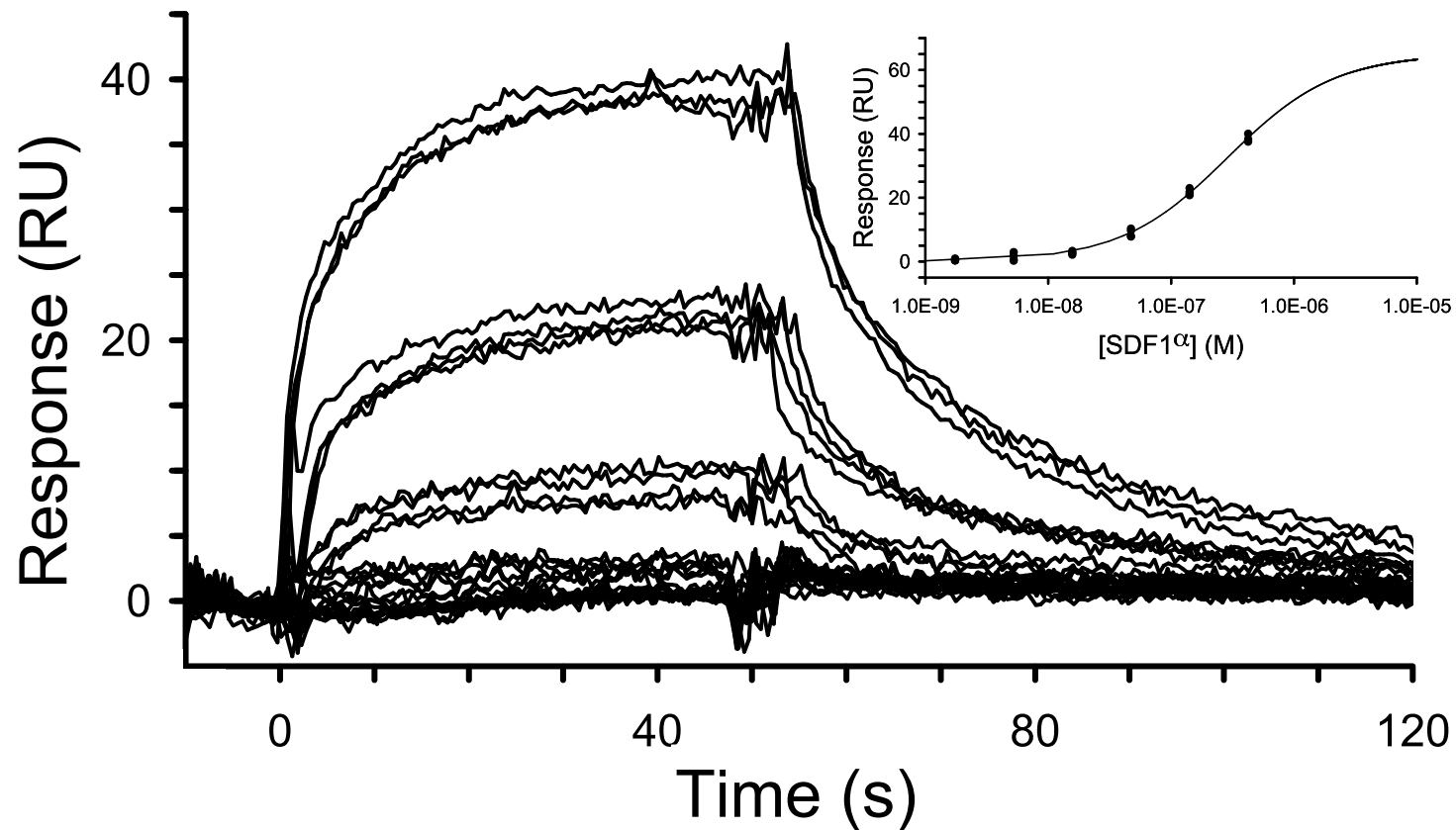




Signal de résonance (RU)



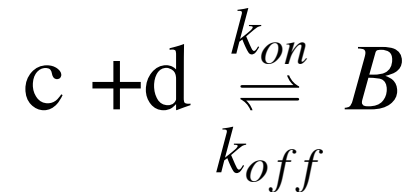
exemples de mesures



La théorie simplifiée classique solution exacte à la main

- l'écoulement est lent, les concentrations sont quasi constantes en x

- C réagit à la paroi avec D pour donner B selon une réaction du premier ordre:



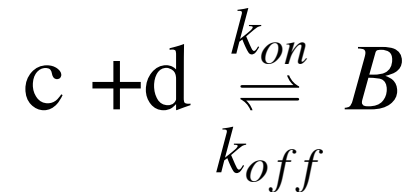
La simplification maximale de notre modèle (qui est le "Rapid Model" de Myska)

$$\frac{dB(t)}{dt} = k_{on}C(R_T - B(t)) - k_{off}B(t), \quad B(0) = 0$$

La théorie simplifiée classique solution exacte à la main

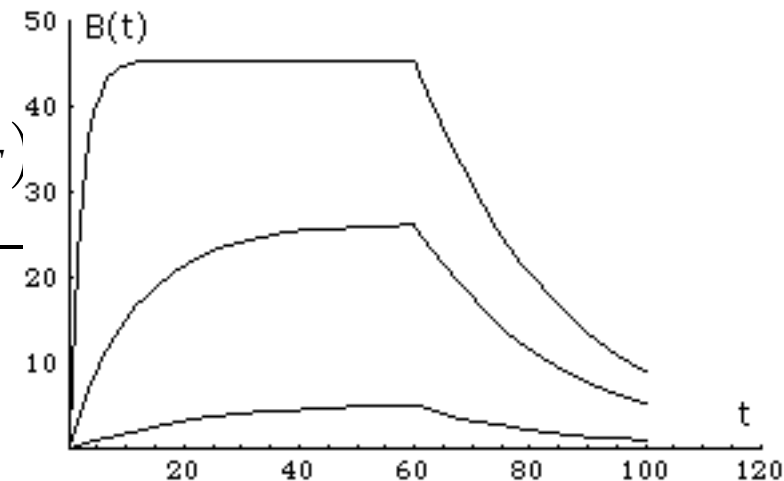
- l'écoulement est lent, les concentrations sont quasi constantes en x

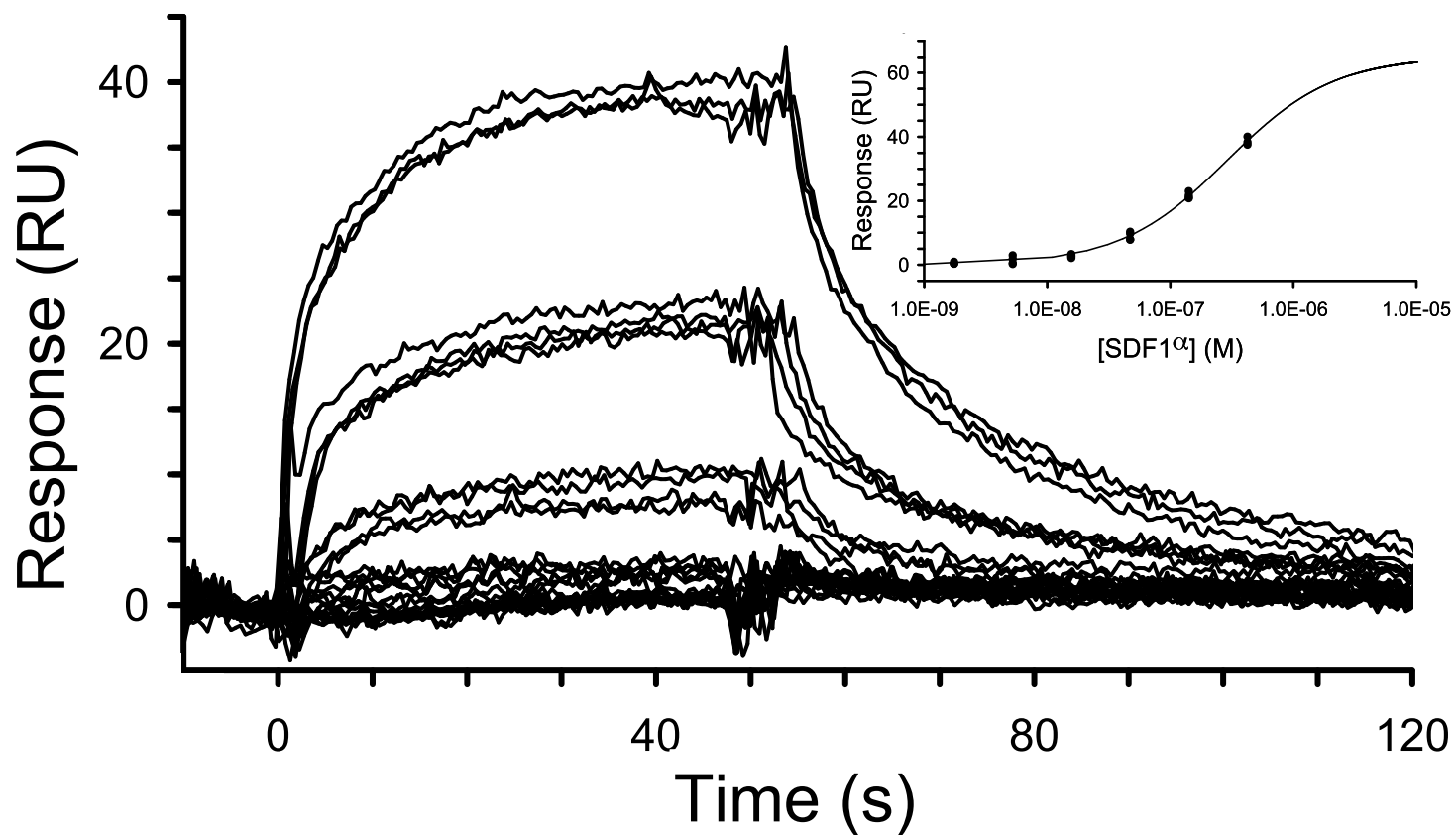
- C réagit à la paroi avec D pour donner B selon une réaction du premier ordre:



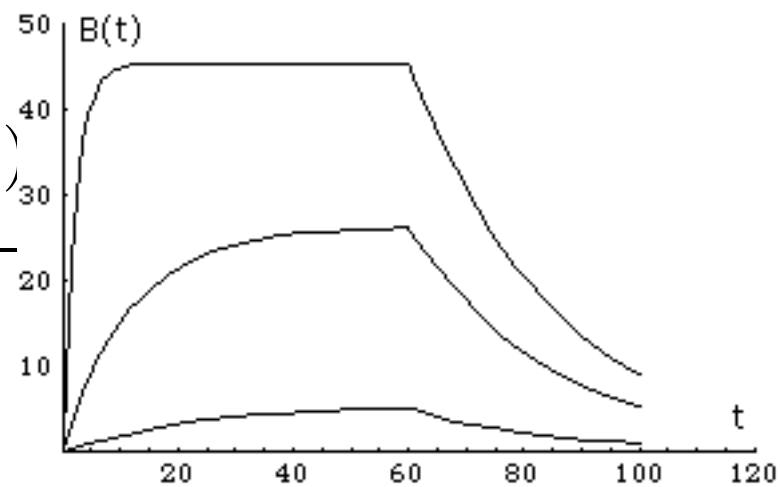
La simplification maximale de notre modèle (qui est le "Rapid Model" de Myska)

$$B(t) = R_T \frac{1 - e^{-(1+k_{off}/(k_{on}C_T))(tk_{on}C_T)}}{1 + k_{off}/(k_{on}C_T)}$$





$$B(t) = R_T \frac{1 - e^{-(1 + k_{off}/(k_{on}C_T))(tk_{on}C_T)}}{1 + k_{off}/(k_{on}C_T)}$$



influence de la vitesse
de l'écoulement (du
cisaillement pariétal)
sur la réponse
temporelle?

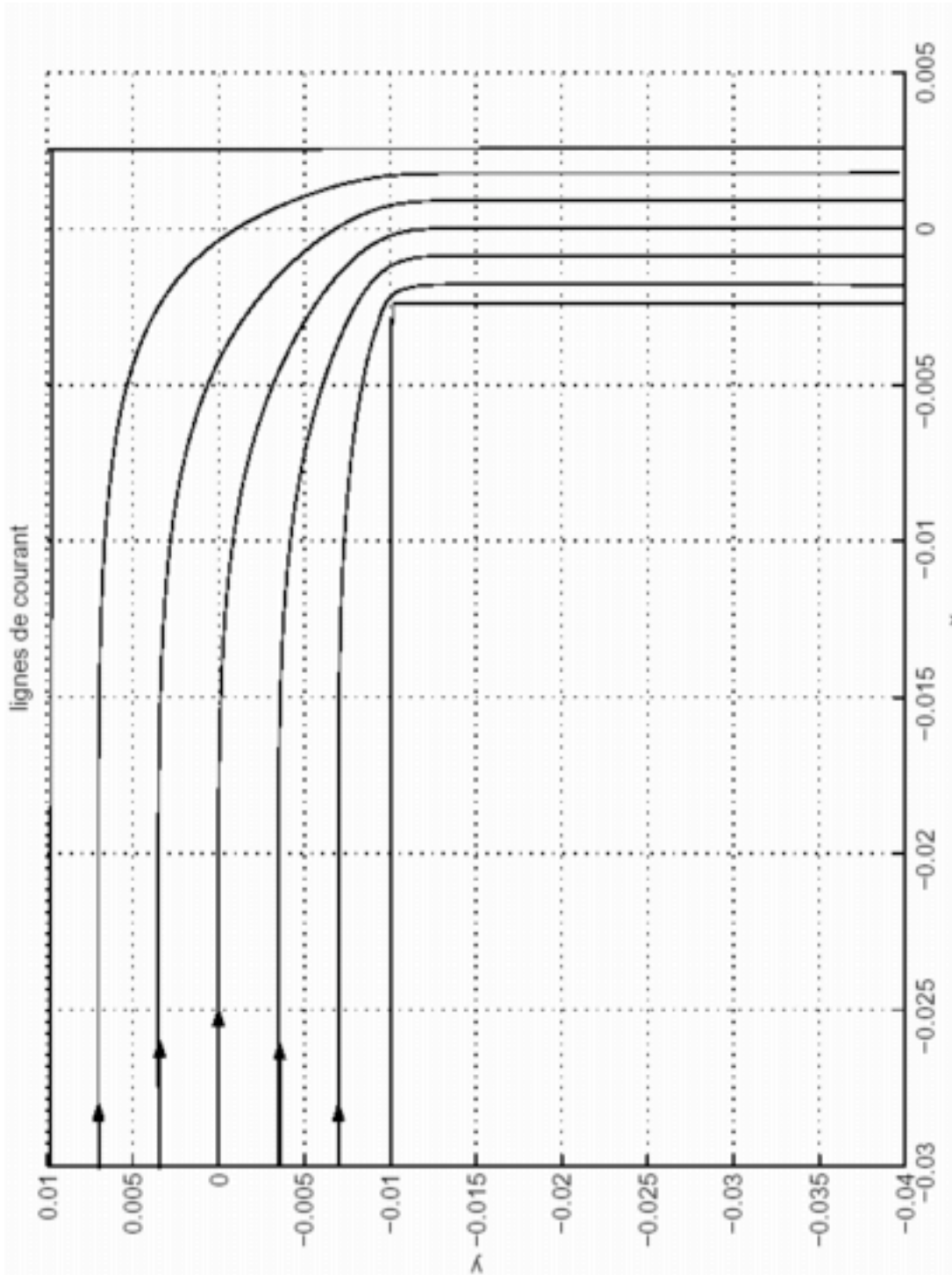
Etudes précédentes

- design “sans écoulement”
- méthode simplifiée (méthode intégrale)
Myszka DG, He X, Dembo M, Morton TA, Goldstein B (1998)
- résolution complète (éléments finis) de l'équation de diffusion
Myszka DG, He X, Dembo M, Morton TA, Goldstein B (1998)
- solution asymptotique lorsque la diffusion reste confinée près de la paroi
Edwards D.A. (1999)

but:

- vérification de l'écoulement de Poiseuille
- méthode asymptotique plus riche que celle d'Edwards, plus simple que la solution complète
- comparaison avec la solution d'Edwards et une solution "complète"
- mise au point sur la méthode intégrale

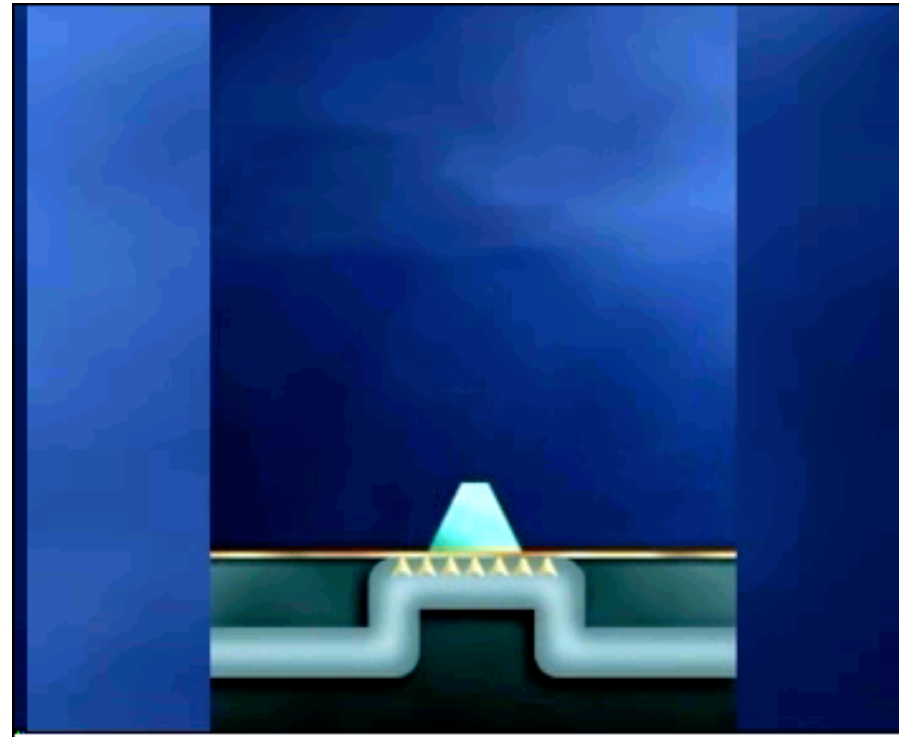
$h=0,05\text{mm}$, (profondeur 0.5mm),
longueur du canal réactif $L=1.9\text{mm}$
largeur du premier canal 0.18mm, largeur du canal vertical 0.2mm,
longueur du canal vertical: inconnue!!!
Débit de 5 à 100 micro l /min



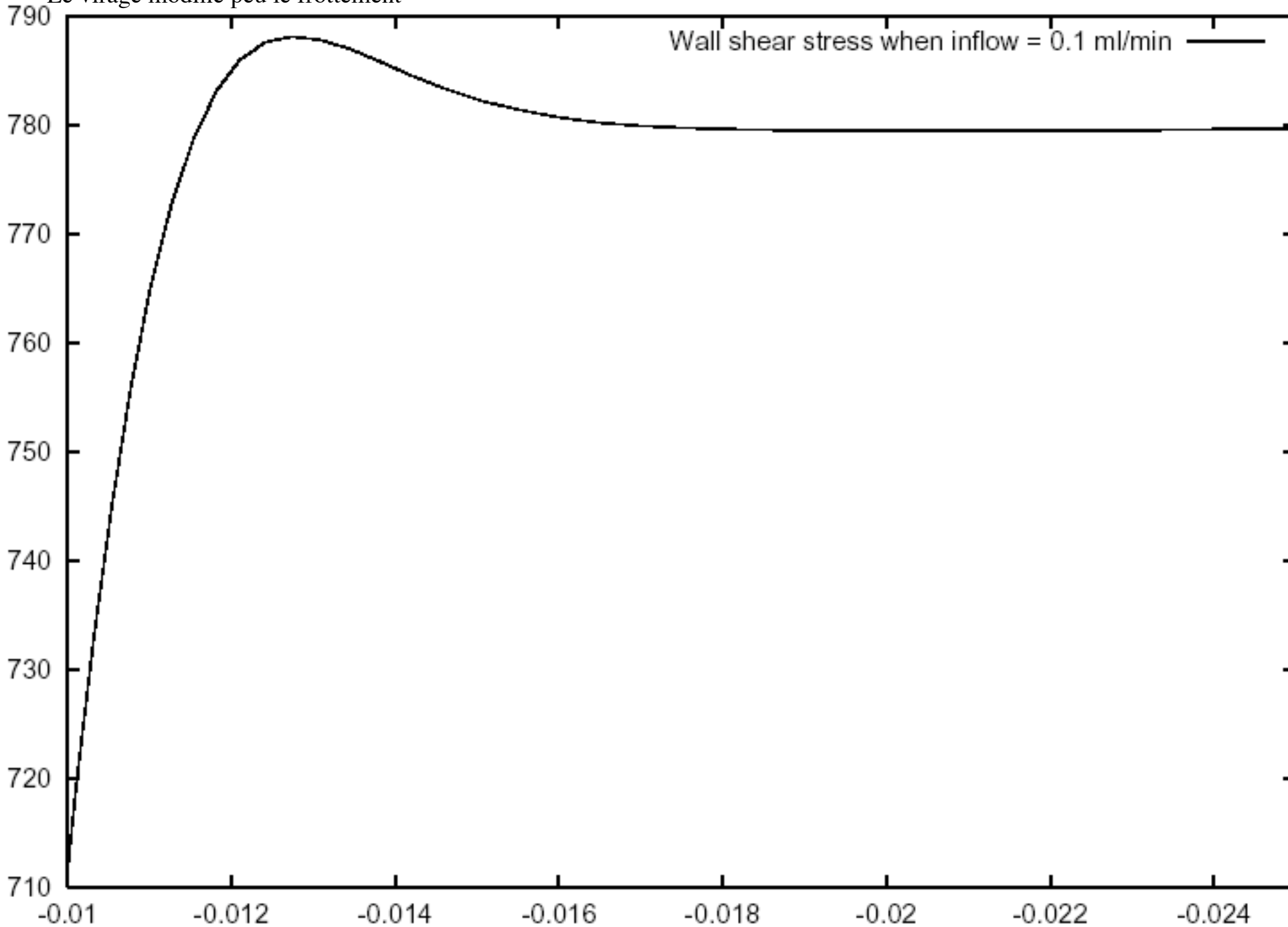
Nombre de Reynolds construit sur l'épaisseur: 0.5 à 15.

Par résolution des équations de Navier Stokes on constate la faible influence du virage et le retour rapide à l'écoulement de Poiseuille: $Re=1.1$;

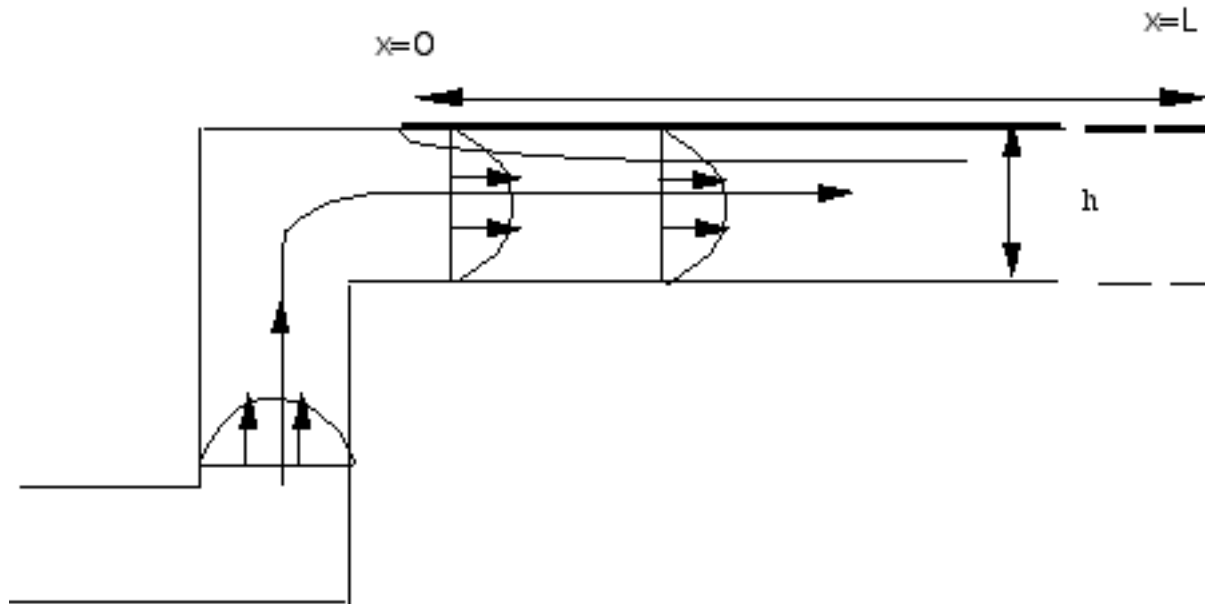
lignes de courant, il n'y a pas de tourbillon de décollement dans le virage (unités en cm).



Le virage modifie peu le frottement

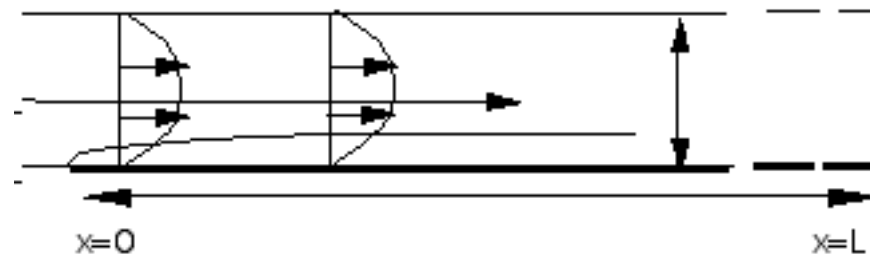


Re=1.1; frottement pariétal, en $x=0.018\text{cm}$ le frottement est constant, la longueur de la cellule est de 0.19cm .



On a donc un écoulement de Poiseuille de frottement pariétal constant sur la majeure partie de la cellule : adimensionné avec h et $4U_{max}$:

$$u = 4U_{max} \frac{y}{h} \left(1 - \frac{y}{h}\right)$$

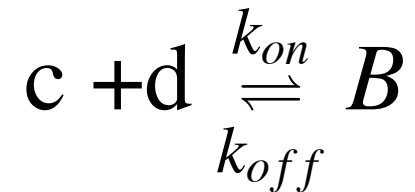


Convection/ Diffusion dans le fluide

$$u(x, y) = 4U_{max} \frac{y}{h} \left(1 - \frac{y}{h}\right), \quad v = 0.$$

$$\frac{\partial c}{\partial t} + u \frac{\partial c}{\partial x} = D \left[\frac{\partial^2 c}{\partial x^2} + \frac{\partial^2 c}{\partial y^2} \right]$$

Chimie



$$\frac{\partial B}{\partial t}(x, t) = k_{on}c(x, h, t)d(x, t) - k_{off}B(x, t)$$

Condition à la paroi: flux de C

$$D \frac{\partial c}{\partial y}(x, h, t) = - \frac{\partial B}{\partial t}(x, t)$$

nombres sans dimensions

- Damköhler = rapport du taux de réaction par la diffusivité
- K = rapport du taux inverse sur le taux direct
- Péclet = rapport de la convection par la diffusion

$$Da = \frac{k_{on}R_T h}{D} \quad K = \frac{k_{off}}{k_{on}C_T} \quad Pe = \frac{Vh^2}{DL}$$

Adimensionnement - Problème final

$$x = \bar{x}L, \quad y = h - \bar{y}h, \quad u = \bar{u}4U_{max}$$

$$\bar{y}(1 - \bar{y})\frac{\partial \bar{c}}{\partial \bar{x}} = \frac{1}{Pe}\frac{\partial^2 \bar{c}}{\partial \bar{y}^2} \quad \text{car } h \ll L \text{ et } Pe \gg 1$$

$$\bar{c}(0, \bar{y}, \bar{t}) = 1, \quad \frac{\partial \bar{c}}{\partial \bar{y}}(\bar{x}, 1, \bar{t}) = 0$$

$$\frac{\partial \bar{c}}{\partial \bar{y}}(\bar{x}, 0, \bar{t}) = Da [\bar{c}(\bar{x}, 0, \bar{t})(1 - \bar{B}) - K\bar{B}],$$

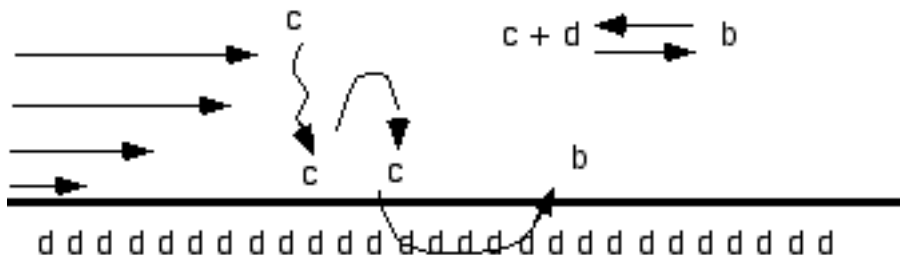
$$\frac{\partial \bar{B}}{\partial \bar{t}} = \bar{c}(\bar{x}, 0, \bar{t})(1 - \bar{B}) - K\bar{B} \quad \bar{B}(\bar{x}, \bar{t} = 0) = 0$$

- On a obtenu un système couplé à la paroi entre:
 - une équation simplifiée de convection/diffusion
 - une équation de cinétique chimique
- Nous comparons maintenant les solutions de ce système avec des cas particuliers plus ou moins simplifiés

couche pariétale

- Lorsque $DaPe^{-1/3} \ll 1$ il y a une nouvelle simplification possible:

$$4U_{max} \frac{y}{h} (1 - \dots) \frac{\partial c}{\partial x} = D \left[\dots + \frac{\partial^2 c}{\partial y^2} \right]$$



$$\delta(x) \simeq \left(\frac{x}{hPe} \right)^{1/3}$$

cas $DaPe^{-1/3} \ll 1$

- comparaison avec la solution analytique d'Edwards

$$\bar{B} = B_0 + DaPe^{-1/3} B_1 + O((DaPe^{-1/3})^2)$$

$$B_0 = \frac{1 - e^{-(1+K)\bar{t}}}{(1+K)}$$

$$B_1 = \frac{3^{5/3} e^{-(1+K)\bar{t}}}{4\Gamma\left(\frac{2}{3}\right)(1+K)} \left[\frac{(e^{-(1+K)\bar{t}} - 1)}{(1+K)} - K\bar{t} \right]$$

comparaison avec la solution analytique
d'Edwards

$$\bar{B} = B_0 + DaPe^{-1/3} B_1 + O((DaPe^{-1/3})^2)$$

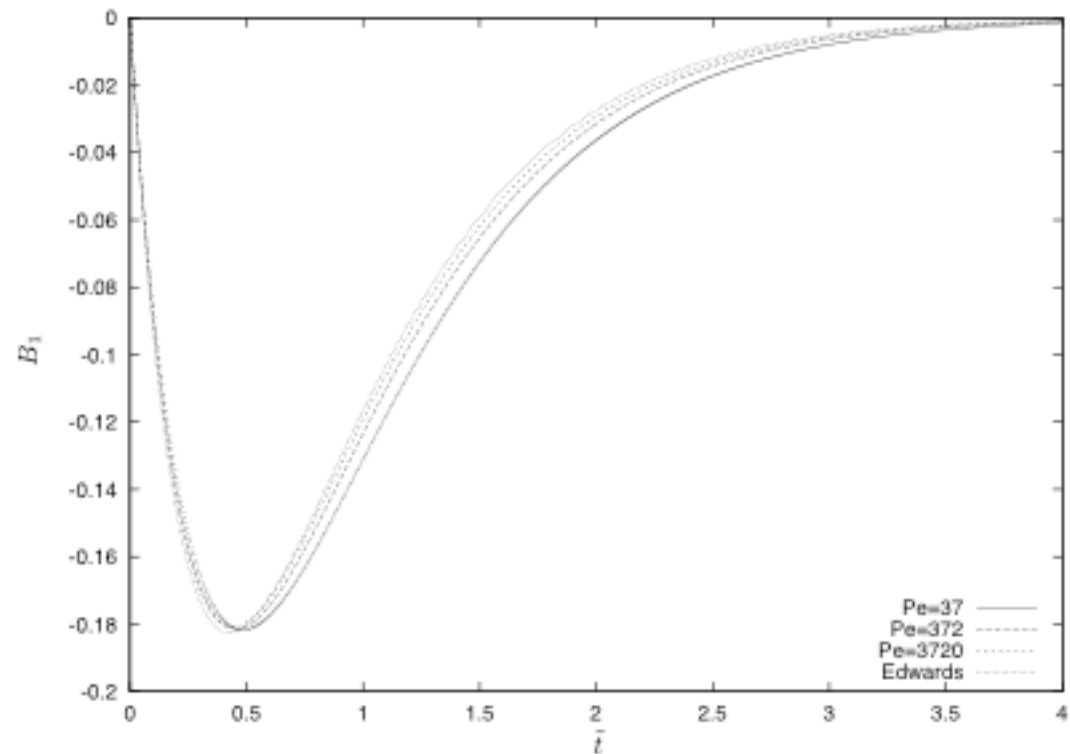


Fig. 5. The averaged correction B_1 of the asymptotic formula (26) for various Pe numbers and for $Da = 0.7$ ($DaPe^{-1/3} = 0.2$ 0.1 0.045). Even for "small" Pe ($Pe = 37!$), but at small $DaPe^{-1/3}$, Edwards prediction is very good.

validation

- solutions de Lévêque
- solution de l'équation de diffusion/convection complète par éléments finis (FreeFem)

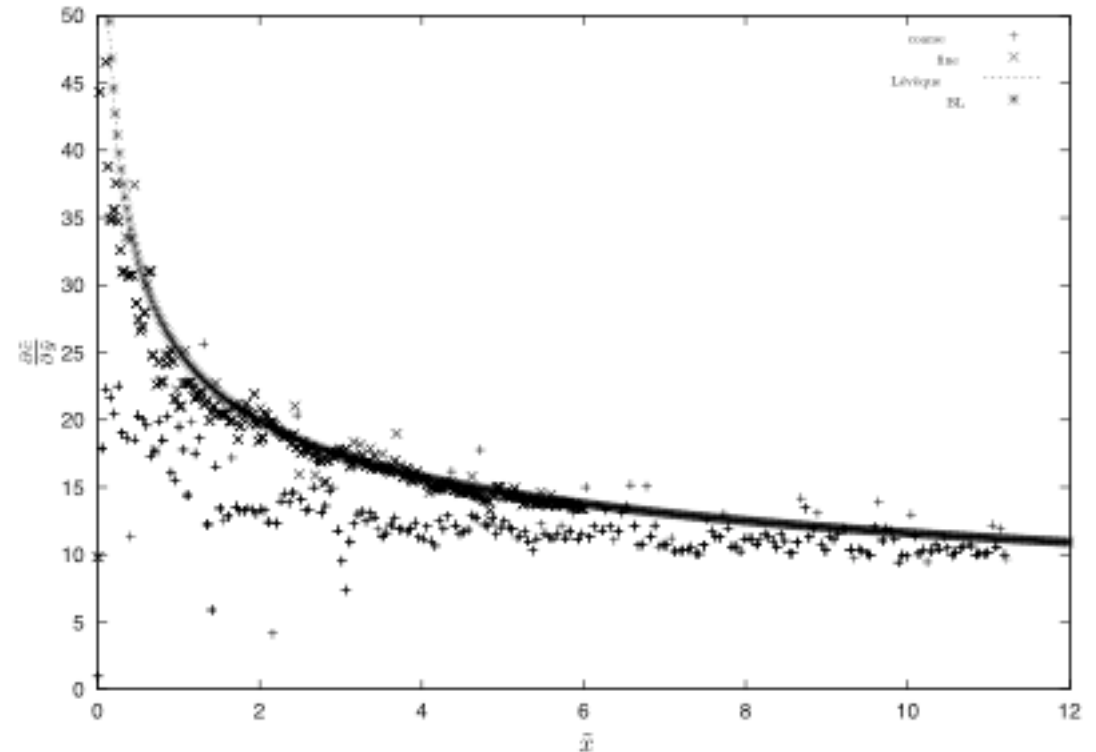
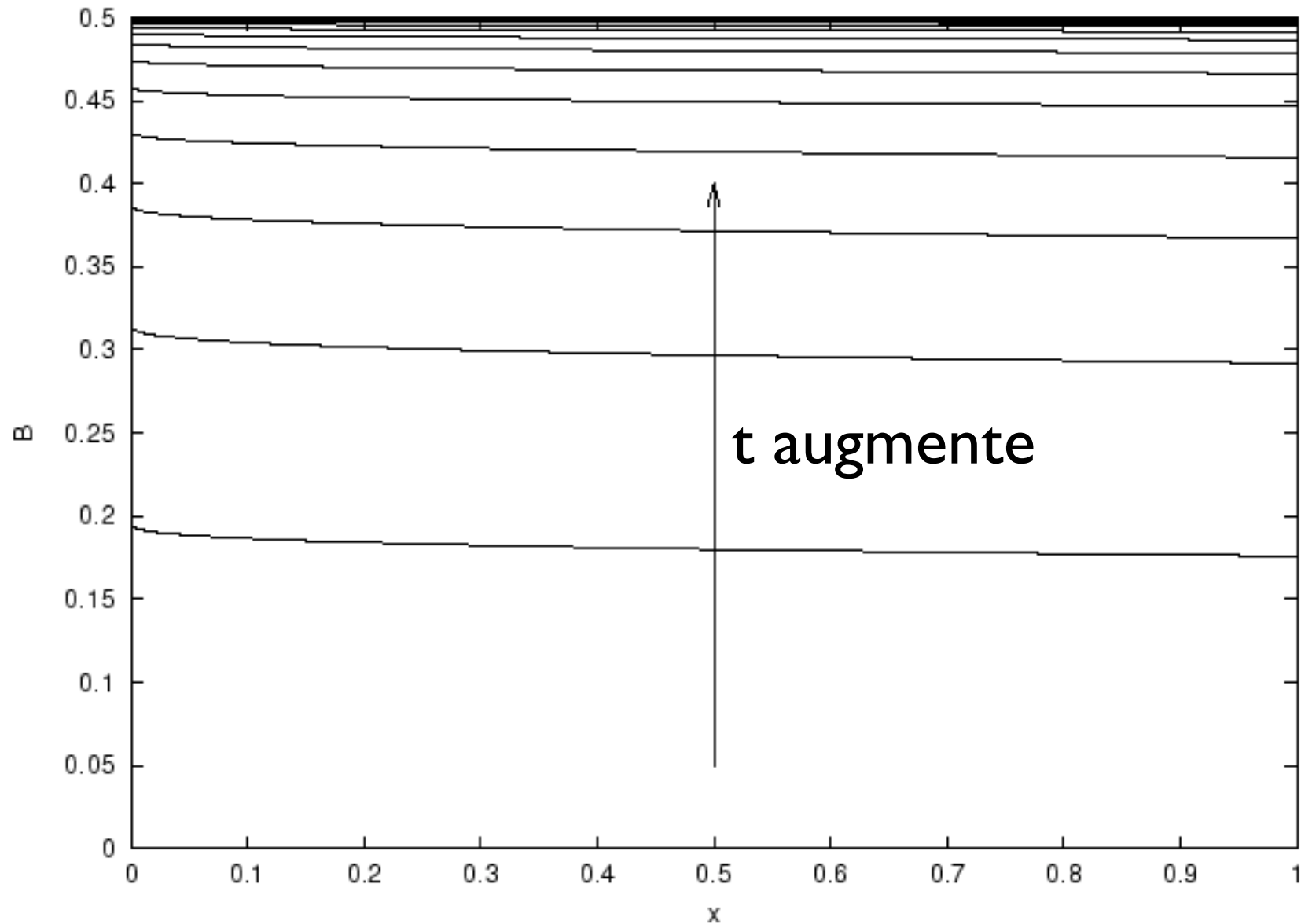


Fig. 2. Evolution of the computed value (the jagged curves are due to the numerical calculation of the derivative) of the flux $\frac{\partial \tilde{c}}{\partial \tilde{y}}$ at the wall for two grids (problem (23) with $\tilde{x}_{out} = 6$ ("fine x") and 12 ("coarse +") and the value predicted by Lévêque $0.538(\tilde{x})^{-1/3} Pe_h^{1/3}$ (here exactly superposed with the numerical results of the problem (24) denoted "BL *"). Here, \tilde{x} is scaled by h , $Pe_h = 100000$, $Pe = 2083$ and $Da = \infty$.

En résumé

- notre modèle $4U_{max} \frac{y}{h} \left(1 - \frac{y}{h}\right) \frac{\partial c}{\partial x} = D \left[\dots + \frac{\partial^2 c}{\partial y^2} \right]$
- se compare bien avec une résolution complète $4U_{max} \frac{y}{h} \left(1 - \frac{y}{h}\right) \frac{\partial c}{\partial x} = D \left[\frac{\partial^2 c}{\partial x^2} + \frac{\partial^2 c}{\partial y^2} \right]$
- se compare bien avec une solution analytique $4U_{max} \frac{y}{h} \left(1 - \dots\right) \frac{\partial c}{\partial x} = D \left[\dots + \frac{\partial^2 c}{\partial y^2} \right]$

Concentration sur le “chip”



$$Pe = 372$$

$$K = 1$$

$$Da = 0.7$$

$$DaPe^{-1/3} = 0.1$$

- On a obtenu un système couplé à la paroi entre:
 - une équation simplifiée de convection/diffusion
 - une équation de cinétique chimique
- On pourrait changer la loi de vitesse, la forme du canal...
- Auparavant nous présentons une simplification pour obtenir une méthode de résolution encore plus rapide

moyenne des équations

$$\left\langle \frac{\partial \bar{c}}{\partial \bar{y}}(\bar{x}, 0, \bar{t}) \right\rangle = Da \left\langle [\bar{c}(\bar{x}, 0, \bar{t})(1 - \bar{B}) - K\bar{B}] \right\rangle$$

$$\left\langle \frac{\partial \bar{B}}{\partial \bar{t}} \right\rangle = \left\langle \bar{c}(\bar{x}, 0, \bar{t})(1 - \bar{B}) - K\bar{B} \right\rangle$$

$$\left\langle \bar{B}(\bar{x}, \bar{t} = 0) \right\rangle = 0$$

Moyenne $\left\langle \cdot \right\rangle = \frac{1}{L} \int_0^L \cdot dx$

Modèle intégral

- simplification en supposant que la solution reste proche de la solution analytique de Lévêque

$$\left\langle D \frac{\partial c}{\partial y} \Big|_{y=chip} \right\rangle = -(\gamma)(C - C_T) \frac{D}{h} \left(\frac{4U_{max}h^2}{Dl} \right)^{1/3}$$

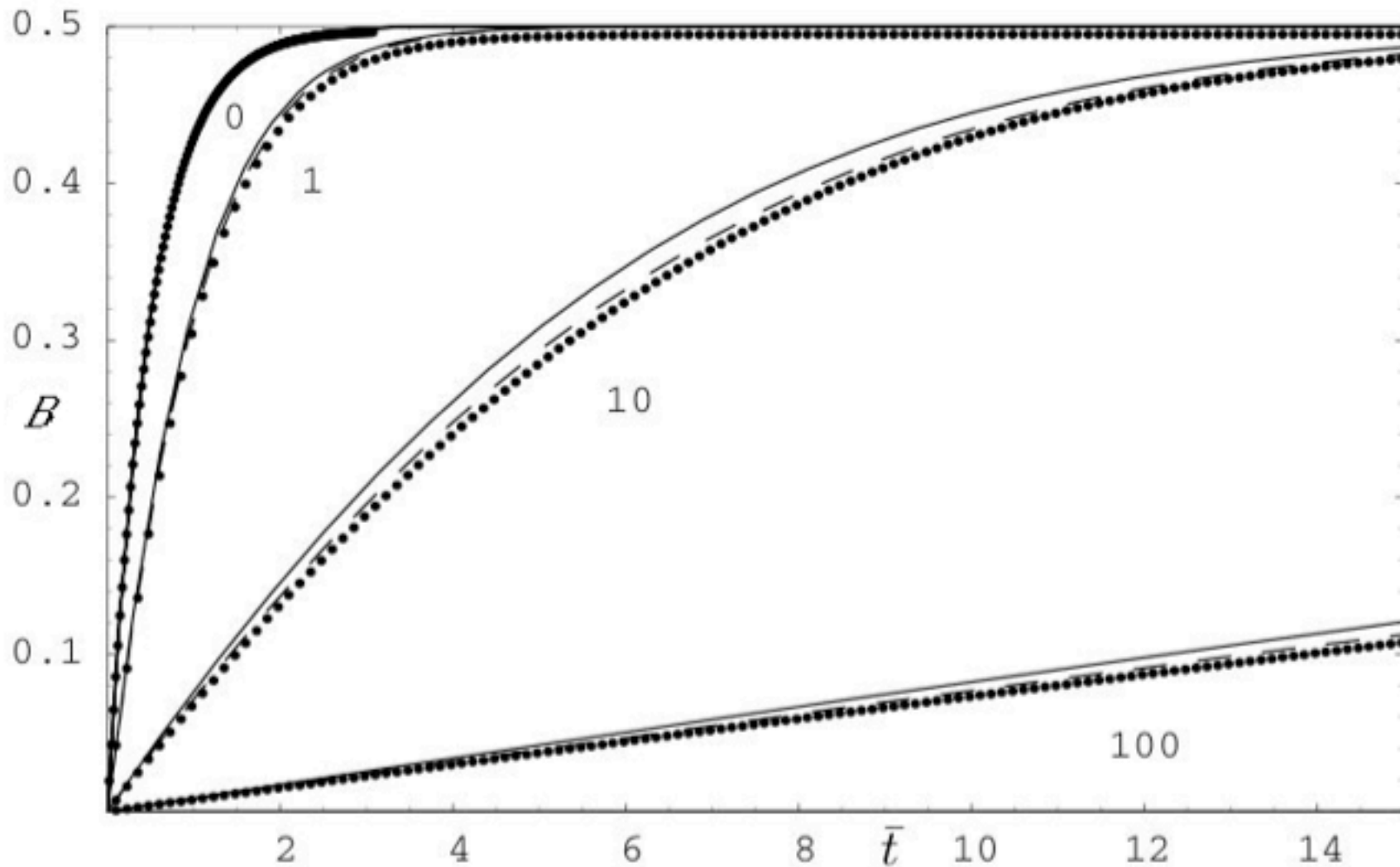
$$\gamma = (0.870) \quad si \quad DaPe^{-1/3} \ll 1$$

$$\gamma = (0.807) \quad si \quad DaPe^{-1/3} > 0.5$$

- modèle simplifié intégral

$$C(\bar{t}) = \frac{(K \bar{B}(\bar{t}) + \gamma(DaPe^{-1/3})^{-1})}{(1 - \bar{B}(\bar{t}) + \gamma(DaPe^{-1/3})^{-1})}$$

$$\bar{B}'(\bar{t}) = (1 - \bar{B}(\bar{t}))C(\bar{t}) - K \bar{B}(\bar{t}) \quad \bar{B}(\bar{t} = 0) = 0$$



Points: solution numérique des équations proposées

plein: $\gamma=0.870$ $DaPe^{-1/3} \ll 1$

pointillé: $\gamma=0.807$ $DaPe^{-1/3} > .5$

Conclusions

- un modèle numérique “assez simplifié”
- un modèle intégral “mieux simplifié”
suivant les valeurs de $DaPe^{-1/3}$

Perspectives

- utilisation sur de vraies manip de chambres à flux
- utilisation pour un modèle d'athérosclérose dans un canal (sténose...)



- Myszka DG, He X, Dembo M, Morton TA, Goldstein B (1998):
"Extending the Range of Rate Constants Available from BIACORE: Interpreting Mass Transport-Influenced Binding Data", Biophysical Journal 75:8:583-594.
- Edwards D.A. (1999):
"Estimating rate constants in a convection diffusion system with a boundary reaction", IMA J. Appl. Math., 63 , pp89 -112.
- P.-Y. Lagrée & A. Ivan-Fernolendt (2004):
"Direct comparison of asymptotic models of surface reacting flows in flow chambers", Eur. Phys. J./AP vol 26, pp 133- 143.

